

Antennes

Sébastien Pioch
sebastien.pioch@univ-tln.fr

*UTLN, UFR S&T
M1 SDM-PHYMER
septembre-octobre '21*

Sommaire

1- Généralités (p. 3)

2- Étude du dipôle infinitésimal (p. 7)

Un peu de théorie (p. 7)

Vecteurs-phaseurs électrique/magnétique sans hypothèse sur kr (p. 10)

Vecteurs-phaseurs électrique/magnétique en champ lointain (p. 12)

Puissance moyenne rayonnée et résistance de rayonnement (p. 13)

3- Diagramme de rayonnement (p. 17)

4- Directivité, efficacité et gain (p. 19)

5- Polarisation (p. 24)

6- Impédance d'entrée d'une antenne (p. 26)

7- Bilan de liaison (p. 31)

8- Bande passante (p. 35)

9- Antennes réseaux (p. 38)

Annexe 1 : efficacité de la polarisation (p. 51)

Annexe 2 : synthèse d'antennes réseaux par la méthode de Dolph-Chebyshev (p. 52)

1- Généralités (1/4)

Très bref historique



J.-C. Maxwell

(écossais, 1831-1879)

1864 unification des théories électrique et magnétique \Rightarrow naissance de l'EM

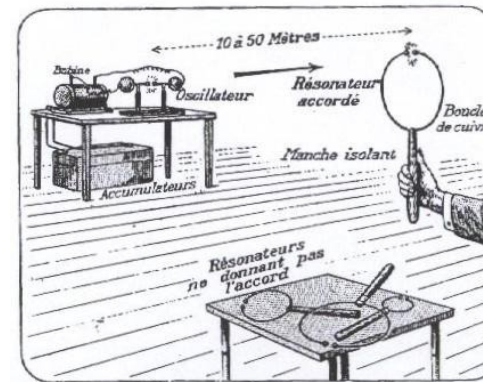
« avec J.-Clerck Maxwell, une nouvelle ère scientifique s'est ouverte » (A. Einstein)



H. Hertz

(allemand, 1857-1894)

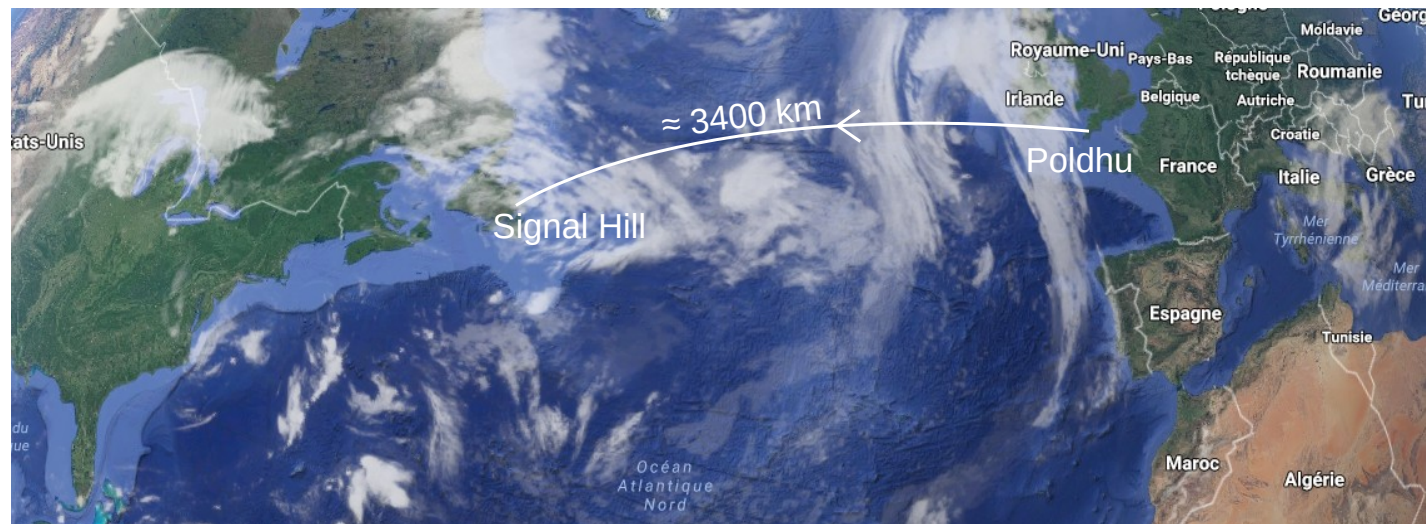
1887 observation d'une OEM, en labo.



G. Marconi

(italien, 1874-1937,
prix Nobel en 1909)

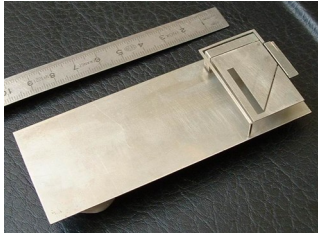
1^{re} communication transatlantique : lettre S envoyée en MORSE



1- Généralités (2/4)

Exemples de structures antennaires et applications

téléphonie cellulaire



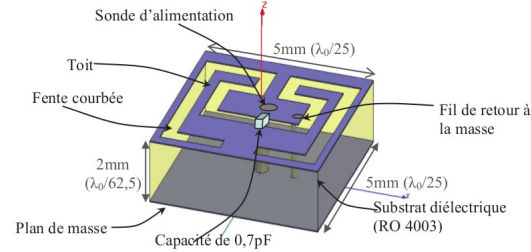
thèse 2004
(LEAT, Sophia Antipolis)



Samsung Galaxy S2

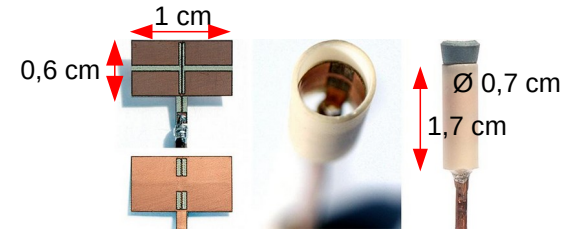
médical

implants auditifs



thèse 2012
(CEA-LETI, Grenoble)

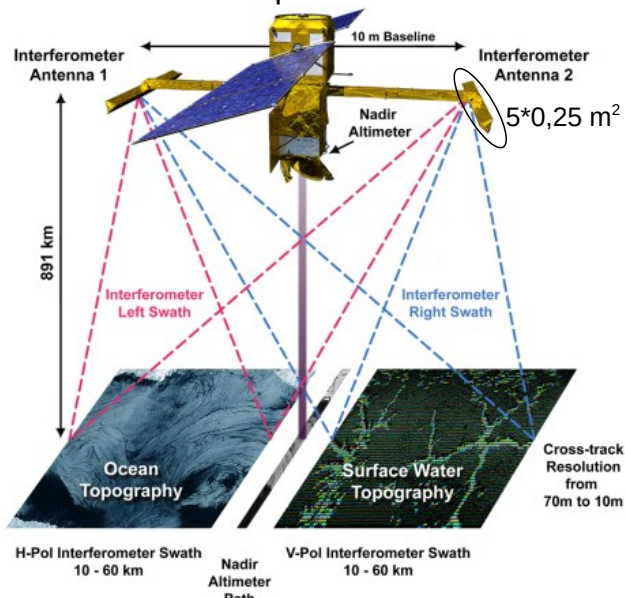
capsule biotéléométrique



thèse 2017
(IETR, Rennes)

spatial

mission SWOT lancement prévu avril 2021



(source : <https://swot.cnes.fr/fr/karin>)

militaire

frégate type La Fayette F 710



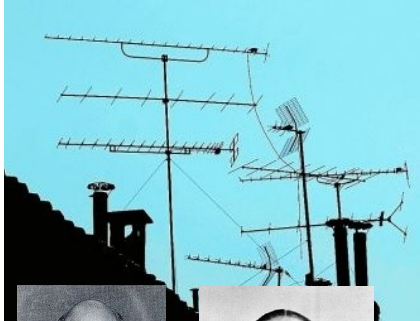
(source : <http://www.defense.gouv.fr/marine/equipements/batiments-de-combat/fregates>)
(anecdote : film GoldenEye 1995, James Bond, scène au port de Monaco) 4

1- Généralités (3/4)

Exemples de structures antennaires et applications

réception TV

avant



H. Yagi
(1886-1976)



S. Uda
(1896-1976)

après



≈ 60 cm

technologies sans contact

RFID

(Radio Frequency Identification)

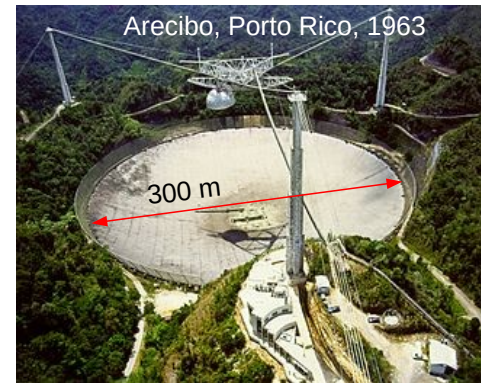


Tour D2, quartier La Défense, Paris



NFC

(Near Field Communication)



Arecibo, Porto Rico, 1963

300 m

radiotélescope monobloc

(anecdote : film GoldenEye 1995, James Bond, scènes finales)



FAST (Five-hundred meter Aperture Spherical Telescope),
Chine, province de Guizhou, 2016

500 m

Conclusion :

antenne = dispositif placé en fin d'un système de télécommunication pour recevoir ou émettre des ondes électromagnétiques => présente des propriétés identiques en émission (Tx) ou en réception (Rx) (grâce au théorème de réciprocité)

Quels thèmes abordés dans ce cours ?

- ✓ paramètres caractéristiques d'une antenne : diagramme de rayonnement, critère pour mesurer la bande passante, impédance, polarisation ;
- ✓ bilan de liaison entre un émetteur et un récepteur ;
- ✓ réseau d'antennes linéaire.

2- Étude du dipôle infinitésimal

Un peu de théorie (1/3)

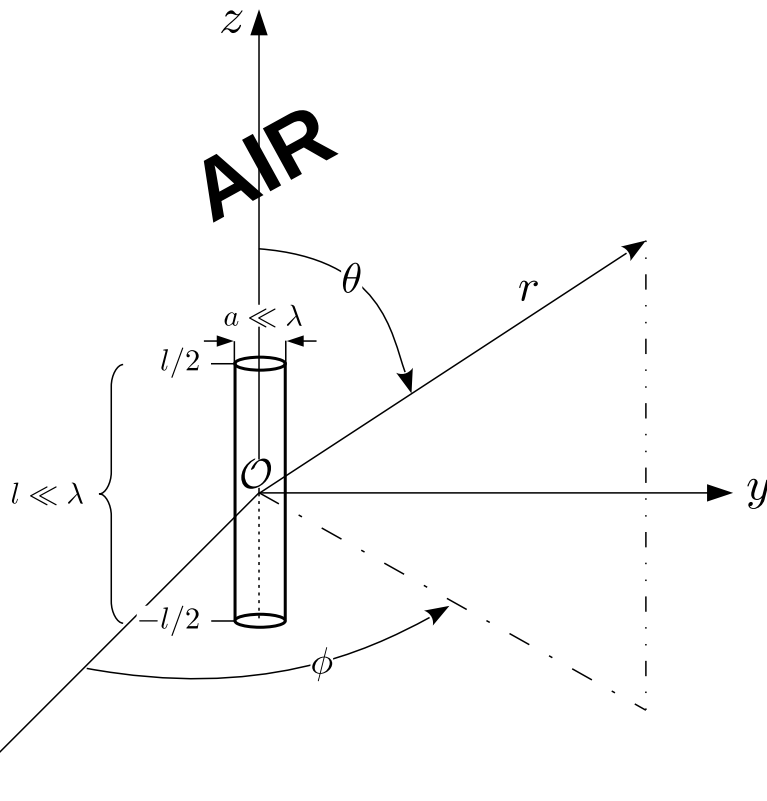
(autres noms rencontrés dans la littérature : dipôle élémentaire, dipôle de Hertz, doublet électrique)



structure sans aucune réalité physique mais permettant de mieux comprendre des antennes réelles de type « filiforme » (*linear wire antenna*, en anglais)

Géométrie et hypothèses

- ✓ conducteur filiforme de longueur très petite / à la longueur d'onde ;
- ✓ placé symétriquement / à l'origine et orienté selon l'axe Oz ;
- ✓ courant supposé constant I_0



Objectif n° 1 (p. 7 → 10)

déterminer les expressions des vecteurs-phaseurs magnétique et électrique à la distance r , en coordonnées sphériques (coord. sph.)

Point de départ

expression du vecteur-phaseur potentiel vecteur

$$\vec{\mathcal{A}} = \frac{\mu_0}{4\pi} \int_{V'} \vec{\mathcal{J}}(r') \frac{e^{-ikR}}{R} dv'$$

$$\text{Rappel : } \mu_0 = 4\pi \cdot 10^{-7} \text{ H} \cdot \text{m}^{-1}$$

ici :

✓ source placée à l'origine du repère $\rightarrow R = r$

✓ densité de courant uniforme sur toute la longueur $\rightarrow \vec{\mathcal{J}}(r') = I_0 \hat{e}_3$

d'où :

$$\vec{\mathcal{A}} \propto \int_{-l/2}^{l/2} I_0 \hat{e}_3 dz' \propto I_0 l \hat{e}_3$$

donc :

$$\vec{\mathcal{A}} = \frac{\mu_0}{4\pi} I_0 l \frac{e^{-ikr}}{r} \hat{e}_3 = \mathcal{A}_3 \hat{e}_3$$

2- Étude du dipôle infinitésimal

Un peu de théorie (2/3)

Potentiel vecteur en coordonnées sphériques (coord. sph.)

via la matrice de passage

$$\begin{pmatrix} \mathcal{A}_r \\ \mathcal{A}_\theta \\ \mathcal{A}_\phi \end{pmatrix} = \begin{pmatrix} \sin\theta \cos\phi & \sin\theta \sin\phi & \cos\theta \\ \cos\theta \cos\phi & \cos\theta \sin\phi & -\sin\theta \\ -\sin\phi & \cos\phi & 0 \end{pmatrix} \cdot \begin{pmatrix} 0 \\ 0 \\ \mathcal{A}_3 \end{pmatrix} \longrightarrow \boxed{\vec{\mathcal{A}}(r, \theta, \phi) = \dots}$$

Remarque: pas de composante suivant \hat{e}_ϕ
car structure symétrique autour de l'axe z

Comment déterminer le vecteur-phaseur champ magnétique $\vec{\mathcal{H}}$?

a) exploiter la notion de flux magnétique conservatif (notation différentielle)

$$\text{div} \vec{\mathcal{B}} = 0 \implies \vec{\mathcal{B}} = \text{rot} \vec{\mathcal{A}} \implies \vec{\mathcal{H}} = \frac{1}{\mu_0} \text{rot} \vec{\mathcal{A}}$$

b) utiliser l'expression du rotationnel en coord. sph.

$$\text{rot} \vec{\mathcal{A}} = \frac{1}{r \sin\theta} \left[(\mathcal{A}_\phi \sin\theta)_{,\theta} - \mathcal{A}_{\theta,\phi} \right] \hat{e}_r + \frac{1}{r} \left[\frac{1}{\sin\theta} \mathcal{A}_{r,\phi} - (r \mathcal{A}_\phi)_{,r} \right] \hat{e}_\theta + \frac{1}{r} \left[(r \mathcal{A}_\theta)_{,r} - \mathcal{A}_{r,\theta} \right] \hat{e}_\phi$$

c) exploiter les propriétés de $\vec{\mathcal{A}}$

$$\longrightarrow \text{rot} \vec{\mathcal{A}} = \dots$$

d) après simplification et factorisation...

$$\vec{\mathcal{H}} = \frac{I_0 l}{4\pi} k^2 \dots \hat{e}_\phi$$

Retrouve-t-on l'unité ?
du champ magnétique ?

2- Étude du dipôle infinitésimal

Un peu de théorie (3/3)

Comment déterminer le vecteur-phaseur champ électrique $\vec{\mathcal{E}}$?

1^{re} possibilité

$$\vec{\mathcal{E}} = -\overrightarrow{\text{grad}}\mathcal{V} - i\omega\vec{\mathcal{A}}$$

condition de jauge de Lorenz

$$\text{div}\vec{\mathcal{A}} + i\omega\frac{1}{c_0^2}\mathcal{V} = 0 \implies \mathcal{V} = i\frac{c_0^2}{\omega}\text{div}\vec{\mathcal{A}}$$

$$\hookrightarrow \vec{\mathcal{E}} = -i\frac{c_0^2}{\omega}\overrightarrow{\text{grad}}\text{div}\vec{\mathcal{A}} - i\omega\vec{\mathcal{A}}$$

le tout en coordonnées sphériques SVP !



LONG

(à faire à la maison, éventuellement...)

2^e possibilité (plus rapide)

a) Utiliser Maxwell – Ampère avec $\vec{\mathcal{J}} = \vec{0} \implies \overrightarrow{\text{rot}}\vec{\mathcal{H}} = i\omega\epsilon_0\vec{\mathcal{E}}$

b) Comme $\vec{\mathcal{H}} = \mathcal{H}_\phi(r, \theta)\hat{e}_\phi$ alors

$$\overrightarrow{\text{rot}}\vec{\mathcal{H}} = \frac{1}{r\sin\theta}(\mathcal{H}_\phi\sin\theta)_{,\theta}\hat{e}_r - \frac{1}{r}(r\mathcal{H}_\phi)_{,r}\hat{e}_\theta$$

c) Diviser par $i\omega\epsilon_0$ pour obtenir $\vec{\mathcal{E}}$

2- Étude du dipôle infinitésimal

Vecteur-phaseur électrique/magnétique sans hypothèse sur kr (1/2)

Fin objectif n° 1

vecteur-phaseur

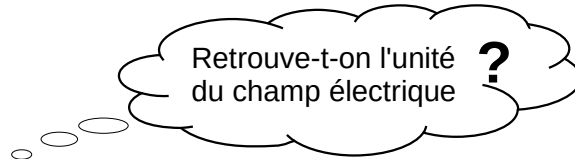
coordonnées sphériques

champ magnétique $\vec{\mathcal{H}}$

$$\mathcal{H}_r = \mathcal{H}_\theta = 0$$

$$\mathcal{H}_\phi = \frac{I_0 l}{4\pi} k^2 \dots$$

champ électrique $\vec{\mathcal{E}}$



$$\mathcal{E}_r = Z_0 \frac{I_0 l}{2\pi} k^2 \dots$$

$$\mathcal{E}_\theta = iZ_0 \frac{I_0 l}{4\pi} k^2 \dots$$

$$\mathcal{E}_\phi = 0$$

avec $Z_0 = \sqrt{\mu_0/\varepsilon_0} = 120\pi \Omega \approx 377 \Omega$ impédance de l'O.E.M. dans l'air (vide)

Commentaires :

- ✓ termes en $1/r$ → rayonnement
- ✓ termes en $1/r^2$ → phénomène d'induction
- ✓ termes en $1/r^3$ → électrostatique

2- Étude du dipôle infinitésimal

Vecteur-phaseur électrique/magnétique sans hypothèse sur kr (2/2)

Représentation des amplitudes des vecteurs-phaseurs et leur rapport, en fonction de kr



$$\theta = \pi/2$$

amplitudes normalisées par rapport à Ck^2 | $C = I_0 l / 4\pi$

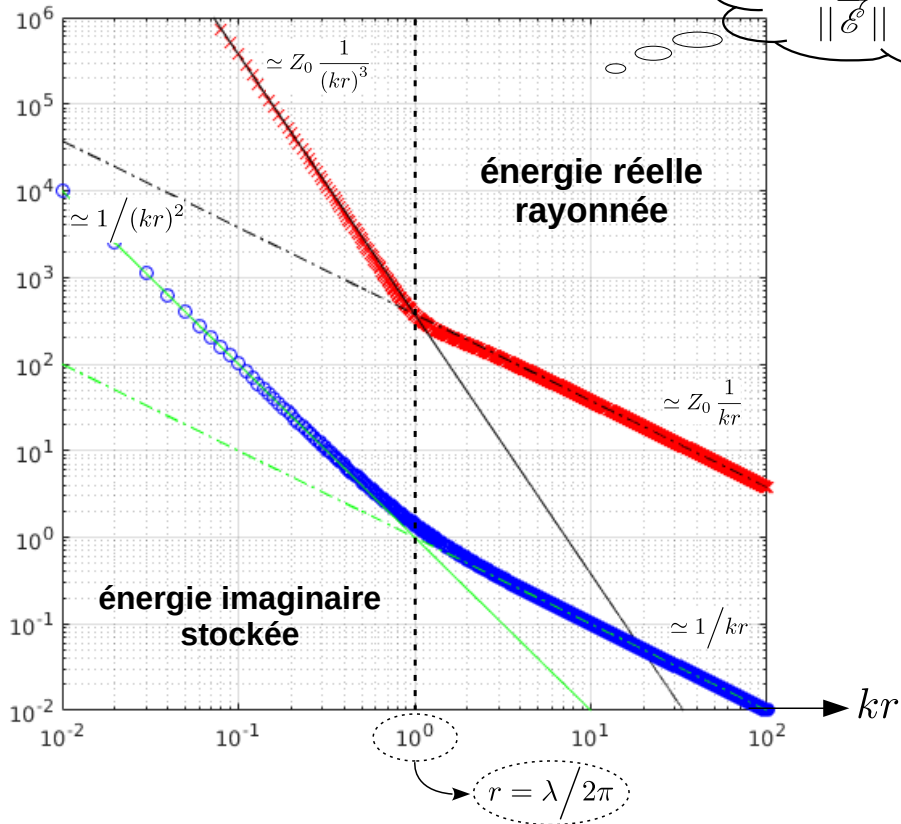
tracés en échelle log-log

Expressions des amplitudes

$$\|\vec{\mathcal{H}}\| = |\mathcal{H}_\phi|_{\text{norm.}} = \frac{1}{kr} \sqrt{1 + \frac{1}{(kr)^2}} \begin{cases} kr \ll 1 & \approx \dots \\ kr \gg 1 & \approx \dots \end{cases}$$

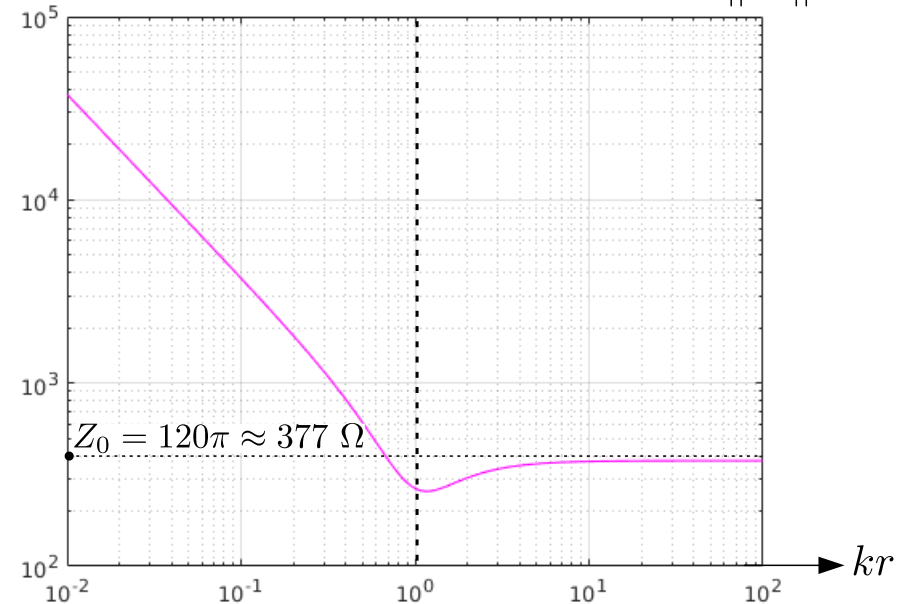
$$\|\vec{\mathcal{E}}\| = |\mathcal{E}_\theta|_{\text{norm.}} = Z_0 \frac{1}{kr} \sqrt{1 - \frac{1}{(kr)^2} + \frac{1}{(kr)^4}} \begin{cases} kr \ll 1 & \approx \dots \\ kr \gg 1 & \approx \dots \end{cases}$$

Tracés des amplitudes



Est-ce-normal d'avoir ?
 $\|\vec{\mathcal{E}}\| > \|\vec{\mathcal{H}}\|$

Tracés du rapport des amplitudes $\rightarrow Z = \frac{\|\vec{\mathcal{E}}\|}{\|\vec{\mathcal{H}}\|}$



2- Étude du dipôle infinitésimal

Vecteur-phaseur électrique/magnétique en champ lointain

Conclusion :

Parmi les domaines d'applications entrant dans le cadre de ce M1, l'antenne sera utilisée en champ lointain ($kr \gg 1$) donc

vecteur-phaseur avec $kr \gg 1$

coordonnées sphériques

champ magnétique $\vec{\mathcal{H}}$

$$\mathcal{H}_r = \mathcal{H}_\theta = 0$$

$$\mathcal{H}_\phi = i \frac{I_0 l}{4\pi} k \dots$$

champ électrique $\vec{\mathcal{E}}$

$$\mathcal{E}_r = \mathcal{E}_\phi = 0$$

$$\mathcal{E}_\theta = i Z_0 \frac{I_0 l}{4\pi} k \dots$$

Commentaires :

✓ $\vec{\mathcal{E}}$ et $\vec{\mathcal{H}}$ en phase, orthogonaux entre eux et à la direction de propagation $\rightarrow \dots$

✓ $\|\vec{\mathcal{E}}\|$ et $\|\vec{\mathcal{H}}\|$ $\left\{ \begin{array}{l} \text{varient en } \dots \text{ et } \dots \rightarrow \text{ champ E.M. anisotrope, nul pour } \theta = \dots \rightarrow \text{ nul sur l'axe z du dipôle, et max.} \\ \text{indépendants de } \dots \text{ (car symétrie par rotation autour de l'axe Oz)} \end{array} \right.$ dans le plan équatorial (xOy)

$$\sqrt{\frac{\|\vec{\mathcal{E}}\|}{\|\vec{\mathcal{H}}\|}} = \dots$$

$$\sqrt{\vec{\mathcal{E}}} = \dots$$

$$\text{ou } \sqrt{\vec{\mathcal{H}}} = \dots$$

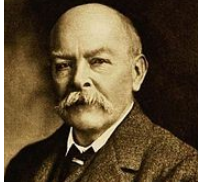
\rightarrow onde localement plane

2- Étude du dipôle infinitésimal

Puissance moyenne rayonnée et résistance de rayonnement (1/4)

Point de départ : vecteur de Poynting complexe

a) expression



(anglais, 1852-1914)

$$\vec{\Pi} = \frac{1}{2} \vec{\mathcal{E}} \wedge \vec{\mathcal{H}}^*$$

unité

...

ou

...

Information

autres notations rencontrées dans la littérature $\vec{\mathcal{F}}, \vec{\mathcal{R}}, \vec{\mathcal{N}}$ et $\vec{\mathcal{P}}$

Remarque

vecteur de Poynting instantanée $\vec{\pi}(\vec{r}, t) := \vec{e} \wedge \vec{h}$

↳ en régime harmonique $\langle \vec{\pi}(\vec{r}, t) \rangle_T = \Re \left(\frac{1}{2} \vec{\mathcal{E}} \wedge \vec{\mathcal{H}}^* \right)$

b) or $\vec{\mathcal{E}} = \mathcal{E}_\theta \hat{e}_\theta$ et $\vec{\mathcal{H}} = \mathcal{H}_\phi \hat{e}_\phi \rightarrow \vec{\Pi} = \dots$

Commentaires :

✓ $\vec{\Pi}$ colinéaire et de même sens que la ...

✓ $\vec{\Pi}$ varie en ... , les champs en ...

✓ $\|\vec{\Pi}\|$ maximum en ... et nul pour $\theta = \dots$

→ $\vec{\Pi} \dots$ → $\perp \dots$ et ...

Autre façon de déterminer le vecteur de Poynting complexe

en champ lointain, onde localement plane → $\vec{\mathcal{H}} = \frac{1}{Z_0} (\hat{e}_r \wedge \vec{\mathcal{E}})$

$$\vec{\Pi} = \dots$$

2- Étude du dipôle infinitésimal

Puissance moyenne rayonnée et résistance de rayonnement (2/4)

Puissance moyenne rayonnée P_{ray}

1^{re} possibilité

$$P_{\text{ray}} = \oint_{\Sigma} \text{Re}(\vec{\Pi}) \cdot d\vec{\Sigma} = \frac{1}{2} \int_{\theta=0}^{\pi} \int_{\phi=0}^{2\pi} \text{Re}(\vec{\mathcal{E}} \wedge \vec{\mathcal{H}}^*) r^2 \sin\theta d\theta d\phi \hat{e}_r$$

unité (W)

...

donc

$$P_{\text{ray}} = Z_0 \dots$$

Mais que vaut
 $P = \int_{\Sigma} \vec{\Pi} \cdot d\vec{\Sigma}$?
sans hypothèse sur kr
(pour les curieux...)

Commentaires :

- ✓ P_{ray} indépendante...
- ✓ $P_{\text{ray}} \propto \dots$ et à...
- ✓ $P_{\text{ray}} \in \dots$

2- Étude du dipôle infinitésimal

Puissance moyenne rayonnée et résistance de rayonnement (3/4)

2^e possibilité

par l'intermédiaire de l'intégrale de l'intensité de rayonnement U (W/sr) sur un angle solide de 4π

valable uniquement en champ lointain !

$$P_{\text{ray}} = \oint_{\Omega} U \, d\Omega = \int_{\theta=0}^{\pi} \int_{\phi=0}^{2\pi} U \, d\Omega \quad \text{avec} \quad \begin{cases} U = r^2 \vec{\Pi} \cdot \hat{n} \mid \hat{n} = \hat{e}_r \\ d\Omega = \sin\theta \, d\theta \, d\phi \end{cases}$$

en champ lointain (cf. p. 13)

$$\vec{\Pi} \propto \frac{1}{2Z_0} \dots$$

$$\longrightarrow U \propto Z_0 \dots$$



$$P_{\text{ray}} = Z_0 \dots$$

Résistance de rayonnement R_{ray}

comme $P_{\text{ray}} = \frac{1}{2} R_{\text{ray}} I_0^2$ alors

$$R_{\text{ray}} = Z_0 \dots$$

si p. ex. $l = \lambda/10 \longrightarrow R_{\text{ray}} = \dots$

$\longrightarrow P_{\text{ray}}$ faible !

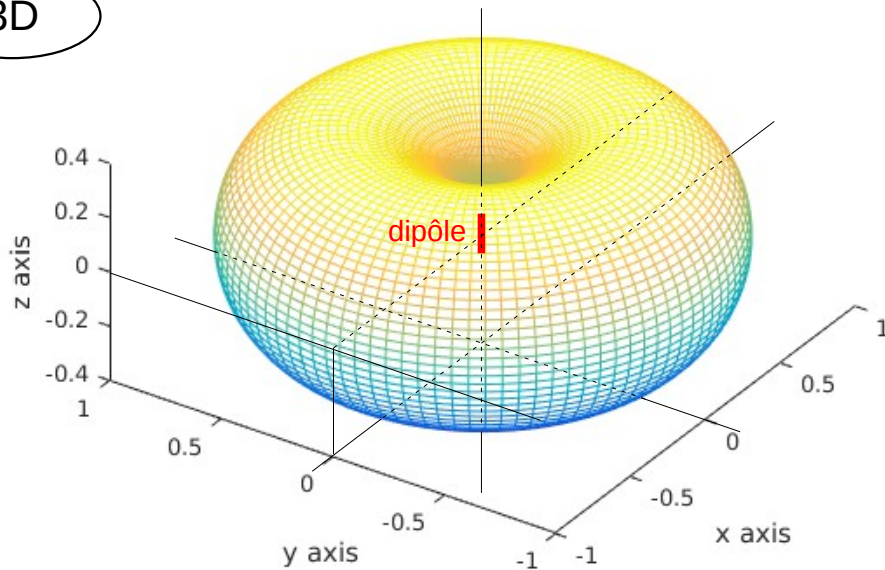
2- Étude du dipôle infinitésimal

Puissance moyenne rayonnée et résistance de rayonnement (4/4)

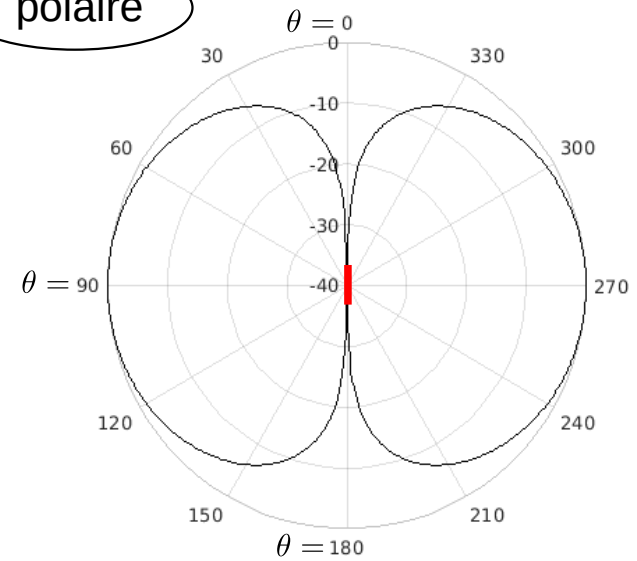
Représentation de l'intensité de rayonnement normalisée

$$U_{\text{norm}} = U/\text{cste} = \sin^2\theta \mid \text{cste} = \frac{1}{8} Z_0 \left(\frac{I_0 l}{\lambda} \right)^2$$

3D



polaire



infinitesimal dipole = doughnut !

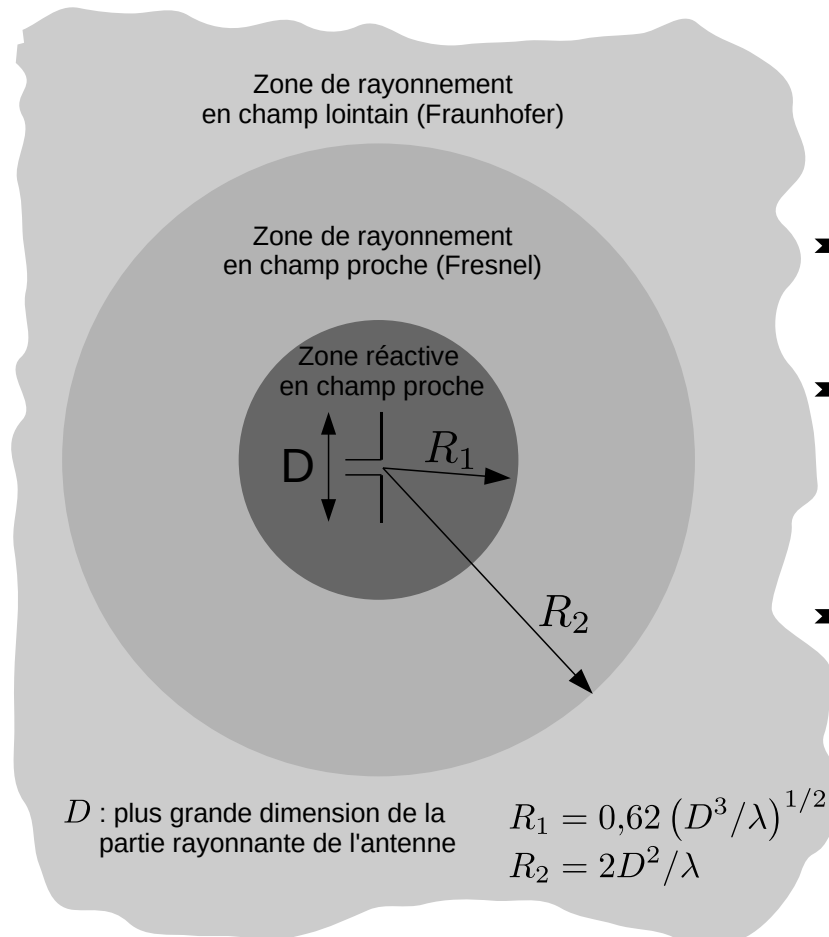


3- Diagramme de rayonnement (1/2)

What is it ?

- représente en 3D (2D en polaire ou 1D en cartésien) la variation du champ EM ou de la puissance EM calculé ou mesuré sur la surface d'une sphère de rayon r ;
- permet de calculer la directivité d'une antenne ;
- se calcule ou se mesure en champ proche ou *champ lointain*.

Zones de rayonnement



➔ **Zone réactive** $r < \dots$

région entourant l'antenne où l'énergie réactive domine

➔ **Zone de champ proche** $\dots < r < \dots$

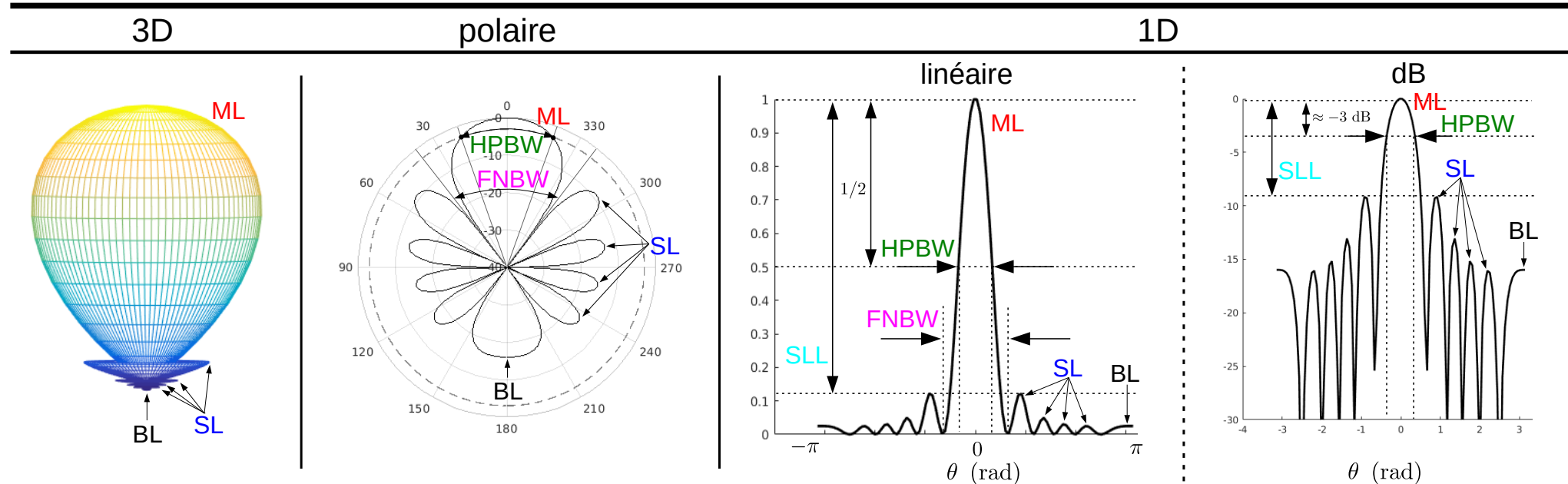
rayonnement prédomine, mais en un point d'observation donné le champ EM dépend de la position angulaire « et » de sa distance à l'antenne

➔ **Zone de champ lointain** $r > \dots$

dans cette région et en un point d'observation donné, le champ EM dépend que de la position angulaire du point d'observation

3- Diagramme de rayonnement (2/2)

Représentations possibles



Grandeurs caractéristiques

- ✓ lobe principal (Main Lobe, **ML**) :
direction principale dans laquelle l'intensité de rayonnement est maximale
 - ✓ lobes secondaires (Side Lobes, **SL**) :
directions de rayonnement autre que le lobe principal souhaité
 - ✓ lobe arrière (Back Lobe, **BL**) :
direction de rayonnement opposée (180°) à celle du lobe principal
 - ✓ ouverture à -3 dB ou mi-puissance (Half-Power BeamWidth, **HPBW**) :
angle défini entre les deux directions autour du ML pour lesquelles l'intensité de rayonnement du lobe principal est égale à la moitié de sa valeur maximale
 - ✓ largeur du premier nul du lobe principal (First Null BeamWidth, **FNBW**) :
angle correspondant aux premiers zéro de rayonnement du lobe principal
 - ✓ dynamique entre le 1^{er} lobe secondaire (Side Lobe Level, **SLL**) et le lobe principal
- Remarque :** pour des applications radar $SLL \approx -20$ dB (\approx facteur 100 !)

Que vaut-il pour le dipôle infinitésimal ?

4- Directivité, efficacité et gain (1/5)

Directivité

définition : rapport de l'intensité de rayonnement, dans une direction donnée (θ, ϕ) à l'intensité de rayonnement d'une source isotrope rayonnant la même puissance

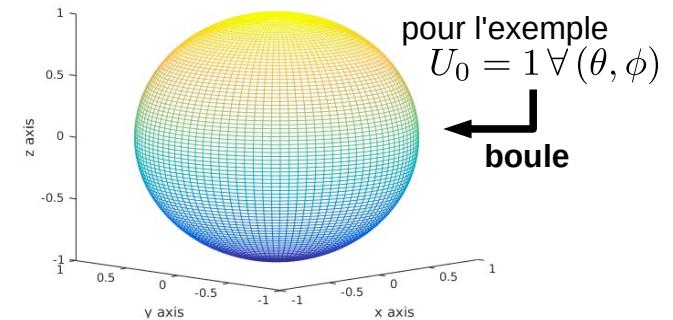
$$D(\theta, \phi) := \frac{U(\theta, \phi)}{U_0}$$

Mais qu'est-ce-qu'une « antenne isotrope » ?

antenne qui rayonne un champ E.M. dont l'intensité est constante dans toutes les directions.

Elle n'existe pas ! C'est un cas idéal qui sert de référence.

$$U_0 = \frac{P_{\text{ray}}}{4\pi}$$



donc

$$D(\theta, \phi) = 4\pi \frac{U(\theta, \phi)}{P_{\text{ray}}}$$

⚠ sans unité

Remarque : si (θ, ϕ) non précisés, on parle de directivité maximale D_{max}

$$D_{\text{max}} = 4\pi \frac{U(\theta, \phi) \Big|_{\text{max}}}{P_{\text{ray}}} = 4\pi \frac{U_{\text{max}}}{P_{\text{ray}}}$$

⚠ sans unité

Pour le dipôle infinitésimal

$$D = \dots$$

et

$$D_{\text{max}} = \dots$$

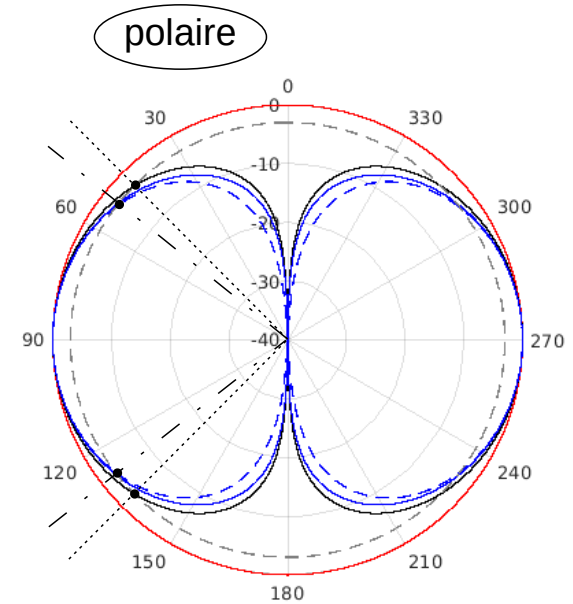
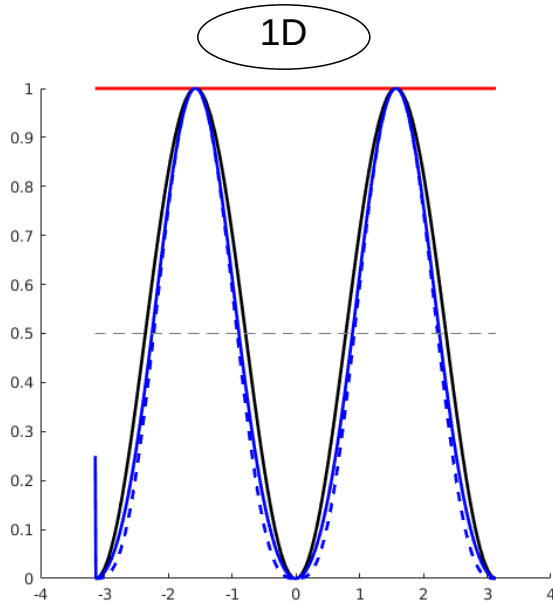
en dB
 $\xrightarrow{10 \log_{10}(\cdot)}$

$$D_{\text{max}} \approx \dots$$

4- Directivité, efficacité et gain (2/5)

Exemples de Directivité

Type d'antenne	Intensité de rayonnement	Directivité	HPBW (°)
source isotrope	$U = 1$	1	×
dipôle infinitésimal $l \ll \lambda$	$U \propto \sin^2 \theta$	1,5	90
dipôle $l = \lambda/2$	$U \propto \left(\frac{\cos\left(\frac{\pi}{2} \cos\theta\right)}{\sin\theta} \right)^2 \simeq \sin^3 \theta$	1,64	$\simeq 75$



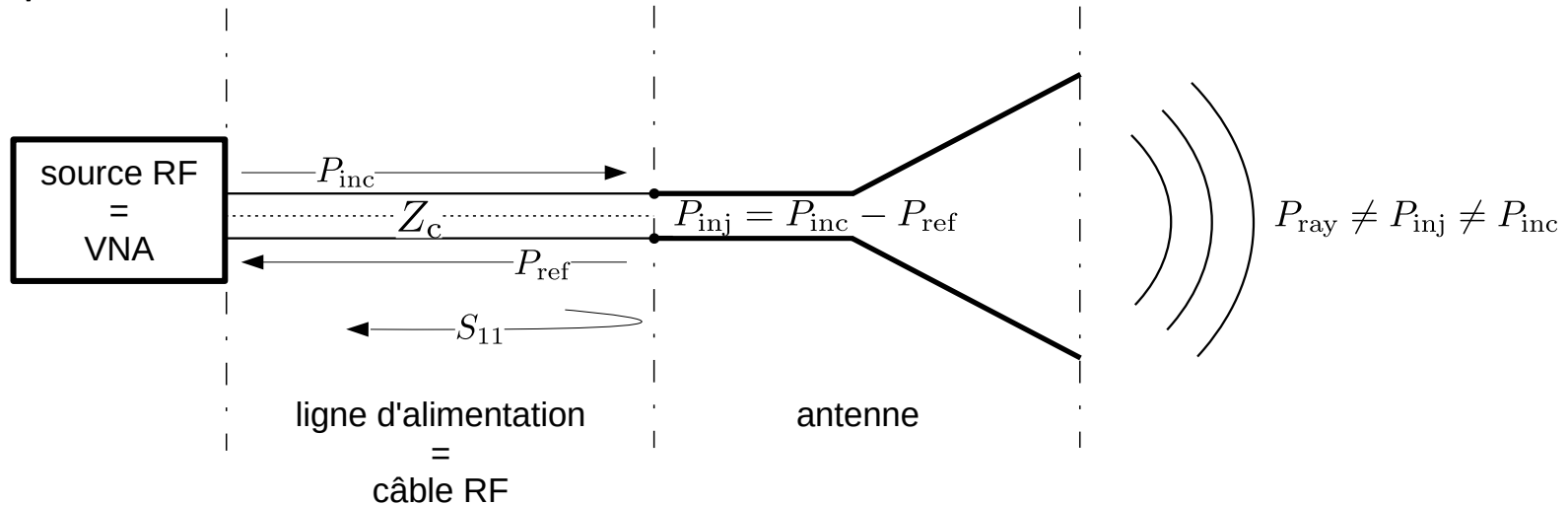
Conclusion
...

4- Directivité, efficacité et gain (3/5)

Efficacité totale (rendement total)

prendre en considération les pertes par désadaptation entre la ligne d'alimentation et l'antenne, ainsi que les pertes dans les matériaux constituant l'antenne (métalliques et diélectriques)

Contexte expérimental



Remarques :

- ✓ S_{11} « coefficient de réflexion » de l'antenne $S_{11} = \frac{Z_A - Z_c}{Z_A + Z_c} \in \mathbb{C}$
- ✓ Z_A « impédance » de l'antenne (cf. p. 26)
- ✓ $P_{inj} = P_{inc} - P_{ref} = P_{inc} (1 - |S_{11}|^2) \quad | \quad |S_{11}|^2 = P_{ref}/P_{inc}$

$$e_{tot} := \frac{P_{ray}}{P_{inc}} = \dots$$



Toutes les efficacités sont des nombres sans unité et comprises dans l'intervalle $[0,1]$

4- Directivité, efficacité et gain (4/5)

Gain relatif

on a vu que

$$e_{\text{ray}} = \frac{P_{\text{ray}}}{P_{\text{inj}}} \quad \text{et} \quad D(\theta, \phi) = 4\pi \frac{U(\theta, \phi)}{P_{\text{ray}}}$$

d'où

$$e_{\text{ray}} = 4\pi \dots$$

donc

$$e_{\text{ray}} = \frac{G(\theta, \phi)}{D(\theta, \phi)} \quad | \quad G(\theta, \phi) = 4\pi \dots$$

$\rightarrow = 1$ si pas de pertes dans les matériaux  sans unité

et

$$G_{\text{max}} = 4\pi \dots$$

Gain absolu

prendre en considération les pertes par désadaptation entre la ligne d'alimentation et l'antenne

$$G_{\text{abs}}(\theta, \phi) = \dots \quad G(\theta, \phi)$$

et

$$e_{\text{tot}} = \dots$$

Remarque

si adaptation d'impédance entre la ligne d'alimentation et l'antenne ($Z_{\text{ant}} = Z_c$) alors $|S_{11}| = 0$ et $G_{\text{abs}} = G$

4- Directivité, efficacité et gain (5/5)

Avez-vous compris ?

Problématique

Un dipôle demi-onde sans pertes d'impédance 73 ohms est connecté à une ligne de transmission d'impédance caractéristique 50 ohms. En supposant que l'intensité de rayonnement soit de la forme :

$$U = A_0 \sin^3 \theta$$

déterminer le gain absolu maximum de l'antenne.

Information

Avant de partir dans les calculs, proposer une procédure d'étude qui permet de parvenir à l'objectif



Réponse :

Exemple de procédure d'étude :

Mise en œuvre de la procédure

.....

5- Polarisation (1/2)

What is it ?

évolution de l'orientation du champ électrique (magnétique) dans l'espace au cours du temps

$$\vec{e} = \Re \left(\vec{\mathcal{E}} e^{i\omega t} \right)$$

dipôle infinitésimal

$$\vec{e} \propto \dots$$

(cf. p. 12)

Commentaire :

champ électrique orienté suivant « une » direction → ...

Pour déterminer de façon « simplifiée » la polarisation

dans le cas où $\vec{\mathcal{E}} = \vec{\mathcal{E}}_{\text{reel}} + i \vec{\mathcal{E}}_{\text{imag}}$

si

$\vec{\mathcal{E}}_{\text{reel}} \cdot \vec{\mathcal{E}}_{\text{imag}} = 0$ et $\ \vec{\mathcal{E}}_{\text{reel}}\ = \ \vec{\mathcal{E}}_{\text{imag}}\ $	→	...
$\vec{\mathcal{E}}_{\text{reel}} \wedge \vec{\mathcal{E}}_{\text{imag}} = 0$	→	...
dans les autres cas	→	...

Remarque

Dans le cas de polarisation circulaire ou elliptique, le sens de rotation est déterminé « par convention » lorsque l'OEM arrive vers l'observateur

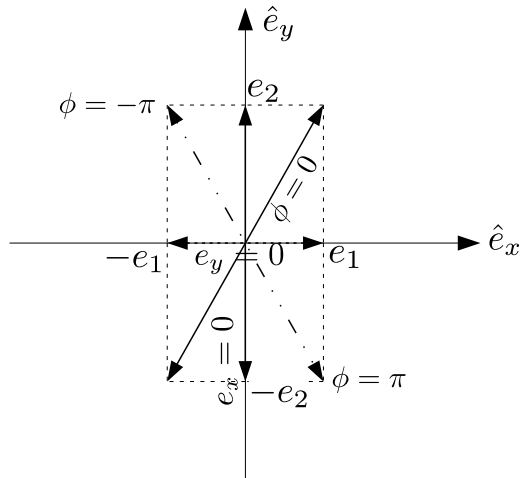
- ✓ polar. gauche si on tourne dans le sens anti-horaire
- ✓ polar. droite si on tourne dans le sens horaire

5- Polarisation (2/2)

Exemple avec une OPPM

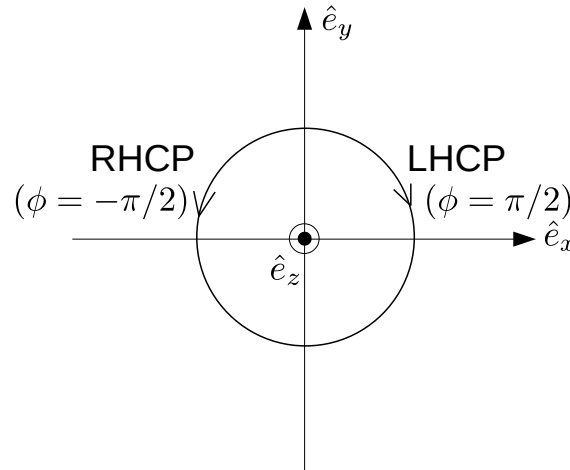
$$\vec{e}(z, t) \begin{pmatrix} e_x = e_1 \cos(\omega t - kz + \phi_x) \\ e_y = e_2 \cos(\omega t - kz + \phi_y) \\ 0 \end{pmatrix} \longrightarrow \frac{e_y}{e_x} = \frac{e_2}{e_1} e^{i\phi} \mid \phi = \phi_y - \phi_x$$

polar. linéaire



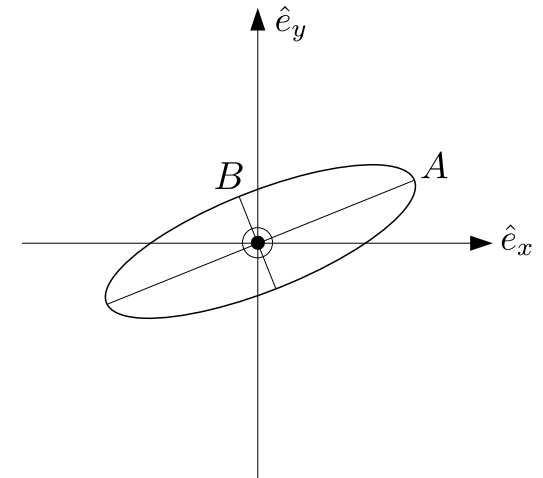
polar. circulaire

$e_1 = e_2 = e_0$ et $\phi = \pm\pi/2$
alors $\|\vec{e}\|^2 = e_0^2$



polar. elliptique

$e_2 = 2e_1$ et $\phi = -\pi/2$
alors $e_x^2 + (e_y^2/4) = e_1^2$



Rapport axial

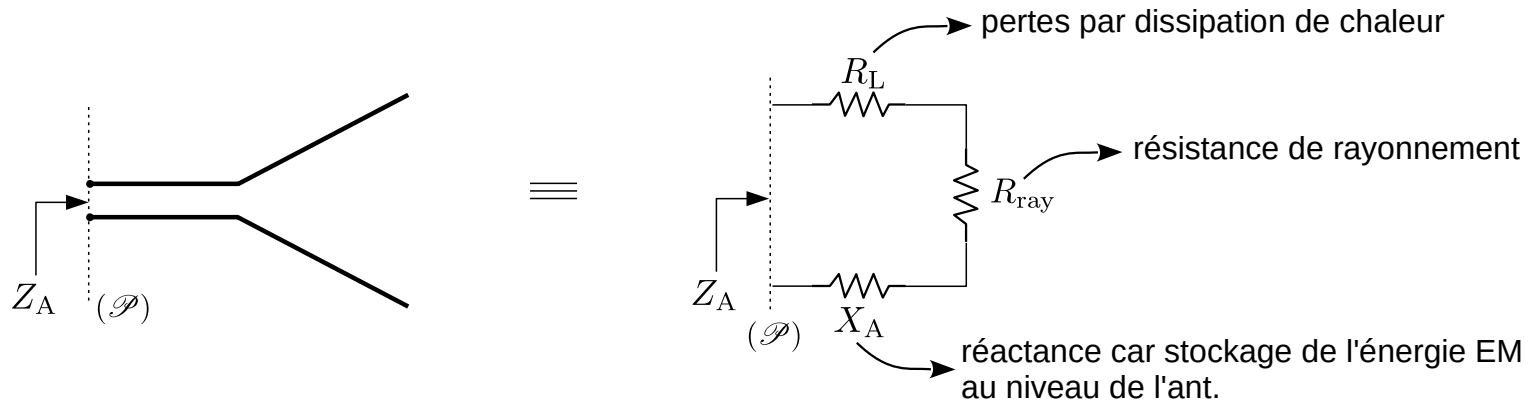
$$1 \leq AR = \frac{OA}{OB} < \infty$$

si $\left| \begin{array}{l} AR = 1 \longrightarrow \dots \\ \text{en pratique } AR \leq 3 \text{ dB} \\ AR \approx \infty \longrightarrow \dots \end{array} \right.$

6- Impédance d'entrée d'une antenne (1/5)

Définition et modèle équivalent

- ✓ impédance présentée par l'antenne au niveau du connecteur (ou terminaison)
- ✓ grandeur complexe et fonction de la fréquence
- ✓ modèle équivalent valable pour des antennes petites et simples



$$Z_A = R_A + iX_A \quad \text{avec} \quad \begin{cases} R_A = R_{\text{ray}} + R_L \in \mathbb{R}_{>0} \\ X_A \in \mathbb{R} \end{cases}$$

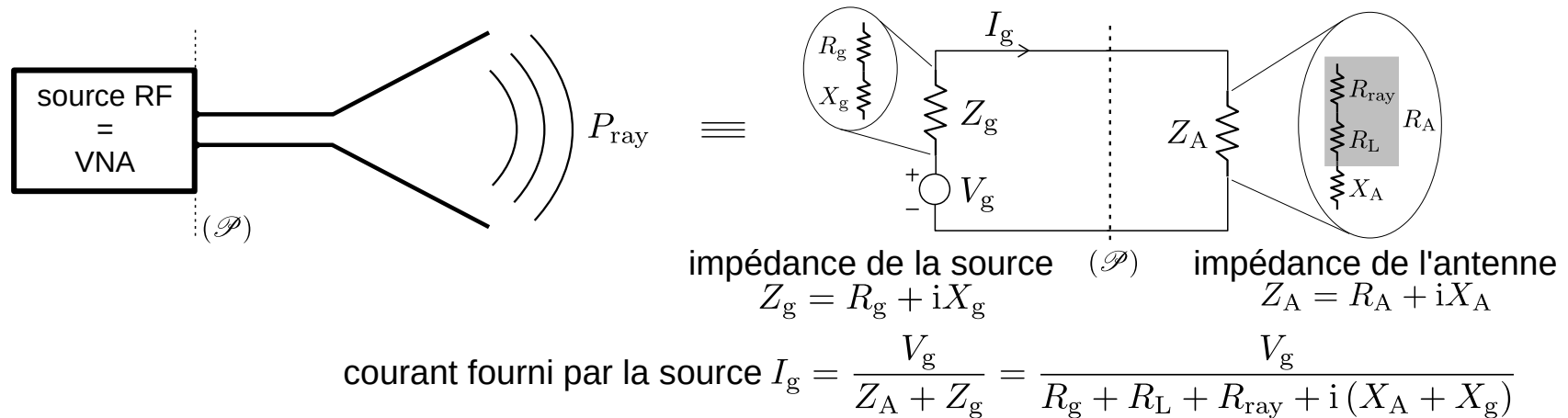
Remarque

Dans la conception d'antenne on essaie d'avoir...

Pour le dipôle infinitésimal $Z_A = \dots$

6- Impédance d'entrée d'une antenne (2/5)

Bilan de puissance en Tx



- Puissance moyenne rayonnée par l'antenne

$$P_{ray} = \frac{1}{2} R_{ray} |I_g|^2 \quad \longrightarrow \quad P_{ray} = \frac{|V_g|^2}{2} \cdot \frac{R_{ray}}{(R_g + R_L + R_{ray})^2 + (X_A + X_g)^2}$$

- Puissance dissipée sous forme de chaleur dans l'antenne

$$P_L = \frac{1}{2} R_L |I_g|^2 \quad \longrightarrow \quad P_L = \frac{|V_g|^2}{2} \cdot \frac{R_L}{(R_g + R_L + R_{ray})^2 + (X_A + X_g)^2}$$

- Puissance restante dissipée en chaleur dans la résistance interne de la source

$$P_g = \frac{1}{2} R_g |I_g|^2 \quad \longrightarrow \quad P_g = \frac{|V_g|^2}{2} \cdot \frac{R_g}{(R_g + R_L + R_{ray})^2 + (X_A + X_g)^2}$$

- Puissance fournie par la source

$$P_S = \frac{1}{2} V_g I_g^* \quad \longrightarrow \quad P_S = \frac{|V_g|^2}{2} \cdot \frac{1}{R_g + R_L + R_{ray} - i(X_A + X_g)}$$

Question

quelle est la puissance maximale délivrée à l'antenne, pour une tension V_g imposée ?

6- Impédance d'entrée d'une antenne (3/5)

Réponse

puissance délivrée à la charge maximale si

$$\begin{array}{|c|} \hline R_{\text{ray}} + R_L = R_g \\ \hline \text{et} \\ \hline X_A = -X_g \\ \hline \end{array} \rightarrow \boxed{Z_A = Z_g^*} \quad \left. \vphantom{\begin{array}{|c|} \hline R_{\text{ray}} + R_L = R_g \\ \hline \text{et} \\ \hline X_A = -X_g \\ \hline \end{array}} \right\} \text{...}$$

Dans ces conditions les puissances sont

P_{ray}	P_L	$P_g = P_{\text{ray}} + P_L$	P_S
$\frac{ V_g ^2}{8} \cdot \frac{R_{\text{ray}}}{(R_{\text{ray}} + R_L)^2}$	$\frac{ V_g ^2}{8} \cdot \frac{R_L}{(R_{\text{ray}} + R_L)^2}$	$\frac{ V_g ^2}{8} \cdot \frac{R_g}{(R_{\text{ray}} + R_L)^2}$	$\frac{ V_g ^2}{4(R_{\text{ray}} + R_L)}$

$$\begin{array}{|c|} \hline P_S = P_{\text{ray}} + P_L + P_g \\ \hline \Rightarrow P_S = \dots \\ \hline \end{array}$$

Commentaires

La moitié de la puissance fournie par le générateur part dans l'antenne. L'autre partie est dissipée sous forme de chaleur dans la résistance interne de la source.

Conclusion

Une antenne idéale rayonne au mieux 50 % de la puissance électrique fournie

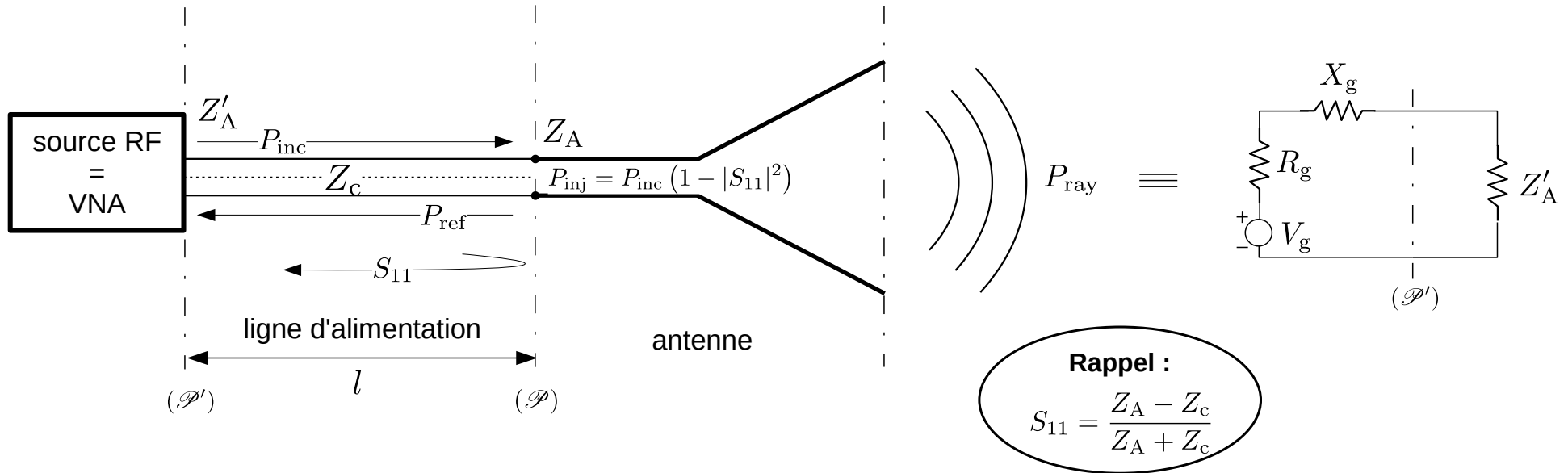
Remarque

L'efficacité de rayonnement peut être également définie comme le rapport de la puissance fournie à la résistance de rayonnement R_{ray} , à la puissance fournie à la résistance de l'antenne $R_A (= R_{\text{ray}} + R_L)$

$$e_{\text{ray}} = \frac{R_{\text{ray}}}{R_{\text{ray}} + R_L}$$

6- Impédance d'entrée d'une antenne (4/5)

Dans la réalité, l'antenne est connectée à la source par une ligne. Donc, prendre en considération la désadaptation entre la ligne et l'antenne



Pour une ligne à pertes, l'impédance de l'antenne ramenée par la ligne en sortie de la source (ou à l'entrée de la ligne) est

$$Z'_A = Z_c \cdot \frac{Z_A + Z_c \tanh(\gamma l)}{Z_c + Z_A \tanh(\gamma l)} \quad | \quad \gamma = \alpha + i\beta$$

α → atténuation linéique (pertes)
 β → déphasage linéique
 γ → constante de propagation complexe

si « ligne sans pertes » ($\alpha = \dots$)

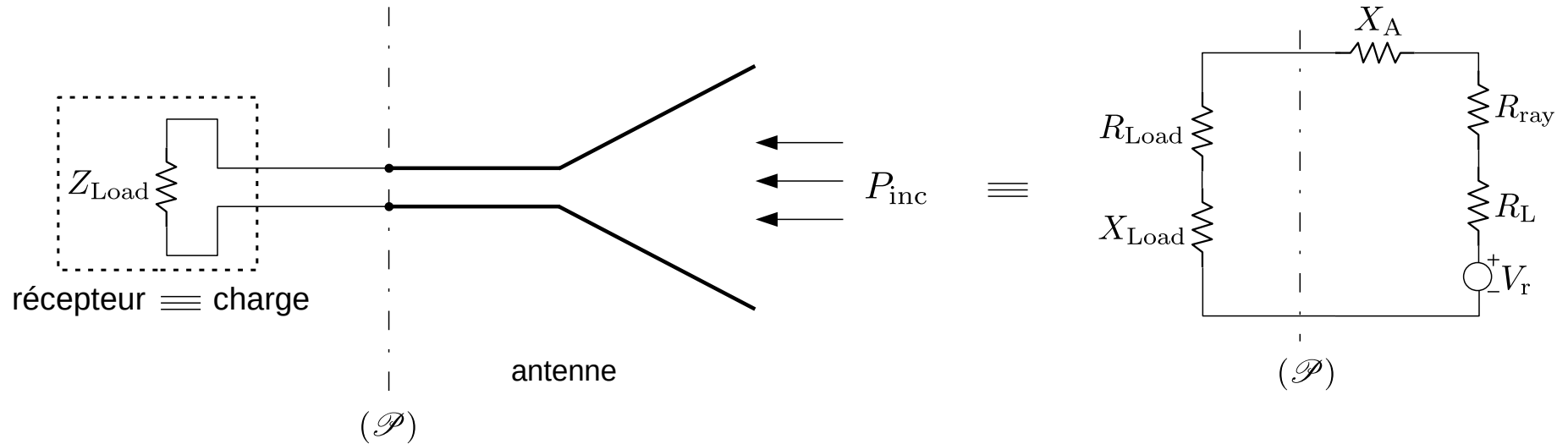
$$Z'_A = \dots$$

Remarque

Si la ligne d'alimentation présente des pertes, alors les intégrer dans la détermination de la puissance incidente au niveau de l'antenne

6- Impédance d'entrée d'une antenne (5/5)

Bilan de puissance en Rx



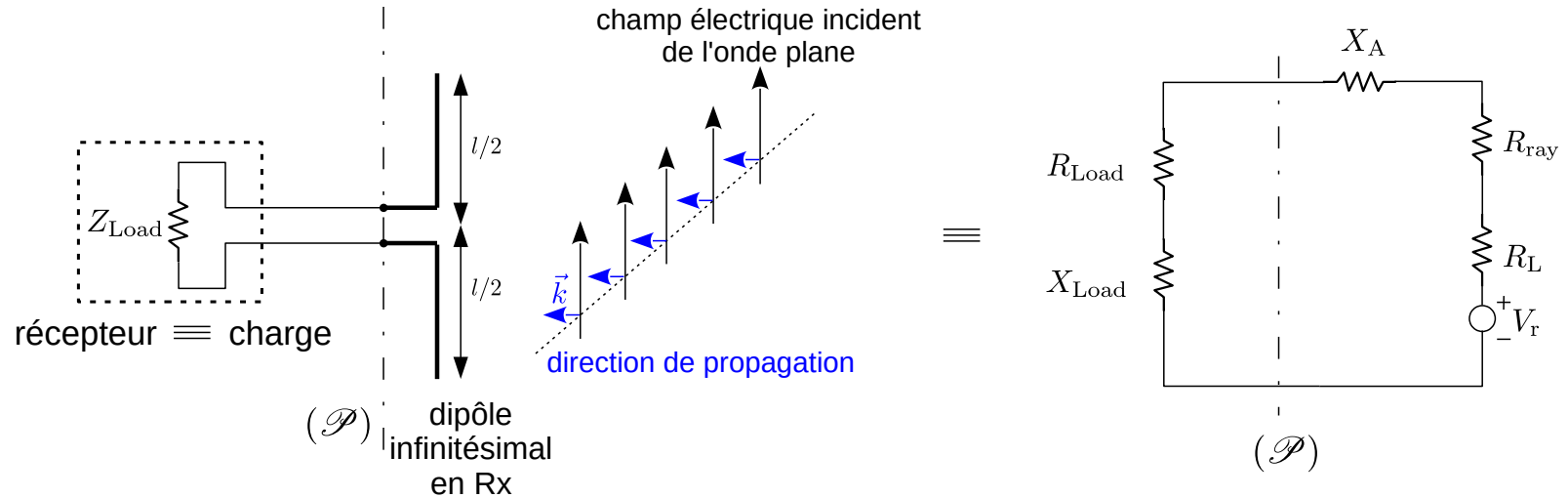
En Rx, l'onde incidente captée par l'antenne peut être modélisée par une source de tension V_r analogue à la source V_g du fonctionnement en Tx.

La partie calcul est identique à celle de l'antenne en Tx.

7- Bilan de liaison (1/4)

Surface efficace (*effective area, en anglais*) d'une antenne

Une antenne en Rx capte la puissance incidente des OEM pour la transmettre à la charge



La surface efficace (ou surface équivalente, aire d'absorption, aire effective) est définie comme le rapport de la puissance fournie (ou transmise) à la charge à la densité de puissance de l'onde incidente

unité m^2

$$A_e = \frac{P_{\text{Load}}}{\frac{dP}{dS}|_{\text{inc}}}$$

Pour les antennes pouvant être modélisées par un circuit équivalent

$$A_e = \frac{1}{2} \frac{R_{\text{Load}} |I_r|^2}{\frac{dP}{dS}|_{\text{inc}}}$$

La surface efficace est liée à la directivité :

$$A_e = \frac{\lambda^2}{4\pi} D(\theta, \phi) \quad \text{et est maximale pour} \quad A_{e_m} = \frac{\lambda^2}{4\pi} D_0$$

si on prend en considération l'efficacité de rayonnement de l'antenne ($e_{\text{ray}} = G/D$) alors

$$A_e = \dots$$

et

$$A_{e_m} = \dots$$

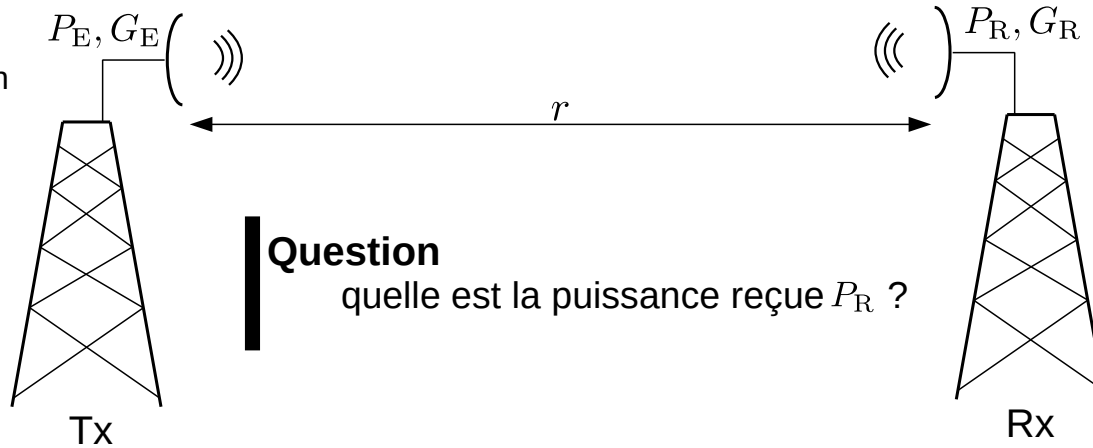
7- Bilan de liaison (2/4)

Formule de transmission de Friis (équation des télécommunications)



danois-américain
(1893-1976)

- ✓ traduit un bilan de puissance entre une antenne en Tx et une antenne en Rx, en vue directe
- ✓ valable uniquement si la distance qui les sépare est supérieure à $2D^2/\lambda$



Question

quelle est la puissance reçue P_R ?

- P_E → puissance incidente sur le port d'alimentation de l'antenne Tx
- $G_E(\theta_E, \phi_E)$ → gain de l'antenne Tx
- $G_R(\theta_R, \phi_R)$ → gain de l'antenne Rx
- P_R → puissance reçue sur l'antenne de Rx, donc transmise au récepteur connecté à l'antenne de Rx

- Densité de puissance rayonnée par l'antenne en Tx à la distance r

$$\left. \frac{dP}{dS} \right|_{Rx} = \frac{P_E}{4\pi r^2} G_E = \frac{PIRE}{4\pi r^2} \quad | \quad PIRE = P_E G_E$$

unité → Puissance Isotrope Rayonnée Équivalente
en anglais : *EIRP, Effective Isotropic Radiated Power*
Ⓜ

- Puissance reçue par l'antenne en Rx

$$P_R = A_{eR} \left. \frac{dP}{dS} \right|_{Rx} \quad | \quad A_{eR} = \frac{\lambda^2}{4\pi} G_R(\theta_R, \phi_R) \quad \longrightarrow \quad P_R = \dots$$

avec la prise en compte des pertes par : désadaptation entre la ligne et l'antenne, polarisation

$$P_R = \dots$$

7- Bilan de liaison (3/4)

Autres déclinaisons de la formule de Friis

- ✓ en fonction de la fréquence f

$$P_R = \dots$$

- ✓ en fonction du nombre d'onde k

$$P_R = \dots$$

- ✓ en fonction de l'affaiblissement en espace libre A_0 (*free space path loss*, en anglais)

$$P_R = \dots$$

- ✓ en dBm

Rappel

$$P(\text{dBm}) := 10 \log_{10} \left(\frac{P(W)}{1\text{mW} = 10^{-3}\text{W}} \right) = 10 \log_{10}(P(W)) + 30$$

$$P_R(\text{dBm}) = \dots$$

Remarque

- ✓ si r (km) et f (GHz)

$$A_0(\text{dB}) \approx \dots$$

- ✓ si r (km) et f (MHz) \Rightarrow UIT-R, Secteur des Radiocommunications

$$A_0(\text{dB}) \approx \dots$$

7- Bilan de liaison (4/4)

Avez-vous compris ?

Problématique

Des antennes d'émission et de réception fonctionnant à 1 GHz, avec des gains respectivement de 20 et 15 dB, sont séparées d'une distance de 1 km. La puissance d'entrée est de 150 W. Déterminer la puissance reçue, en W et en dBm, lorsque :

- a) les antennes sont adaptées en polarisation ;
- b) l'antenne d'émission est à polarisation circulaire (gauche ou droite) et l'antenne de réception est à polarisation linéaire.

Réponse :

8- Bande passante (1/3)

bandwith (BW), en anglais

- ✓ La BW d'une antenne est la bande de fréquence à l'intérieure de laquelle les caractéristiques radioélectriques de l'antenne respectent des standards spécifiés

p. ex.

GSM-2G (Global System for Mobile Communication), bandes :
890-900 MHz (Orange, UpLink (tél. portable → BTS))
1713-1737 MHz (Orange, UpLink (tél. portable → BTS), zone très dense)

UMTS-3G (Universal Mobile Telecommunications System),
bandes 900 MHz et 2100 MHz

LTE-4G (Long Term Evolution), bandes : 800 MHz, 2600 MHz

WiFi, bandes : 2,4 GHz et 5 GHz

Bluetooth, bande : 2,4 GHz

etc.

- ✓ Comme les caractéristiques radioélectriques d'une antenne n'ont pas le même comportement en fréquence, il n'existe pas de définition unique de la BW.
- ✓ De façon générale, on fait une différence entre la BW en diagramme de rayonnement et la BW en impédance.
- ✓ On distingue les antennes à bandes étroites et les antennes larges bandes
 - a) antenne bande étroite

$$BW = \frac{f_{\max} - f_{\min}}{f_c} * 100\%$$

←
fréquence centrale

b) antenne large bande

rapport de la fréquence maximale à la fréquence minimale, p. ex.

$$BW = 8 : 1 \quad (\text{fréquence maximale 8 fois supérieure à la fréquence minimale})$$

Remarque

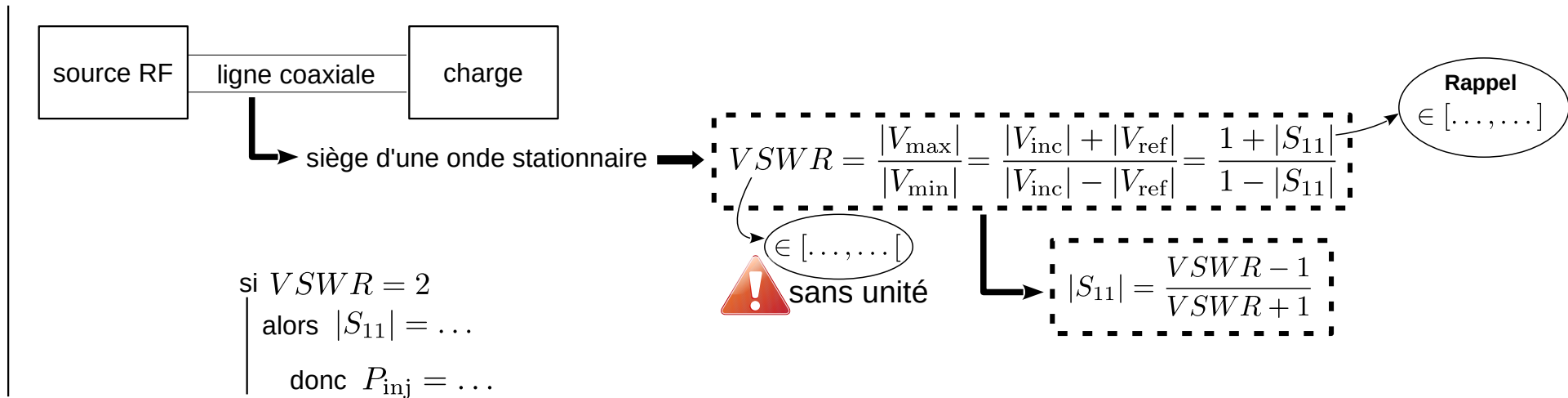
autres définitions $BW = 2 \cdot \frac{f_{\max} - f_{\min}}{f_{\max} + f_{\min}} \geq 0,2$ ou $BW \geq 500 \text{ MHz}$

8- Bande passante (2/3) *bandwith (BW), en anglais*

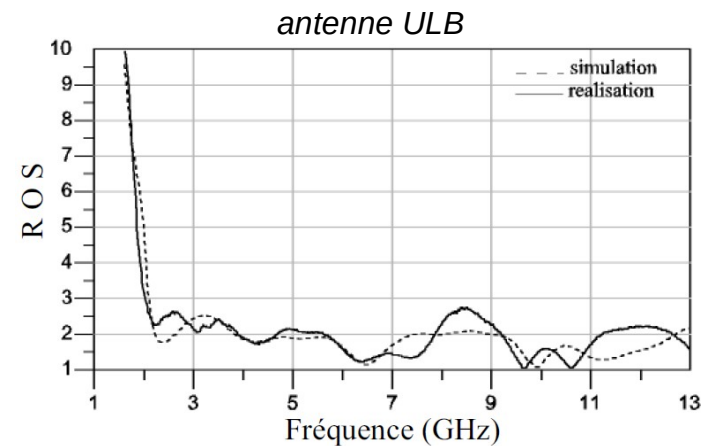
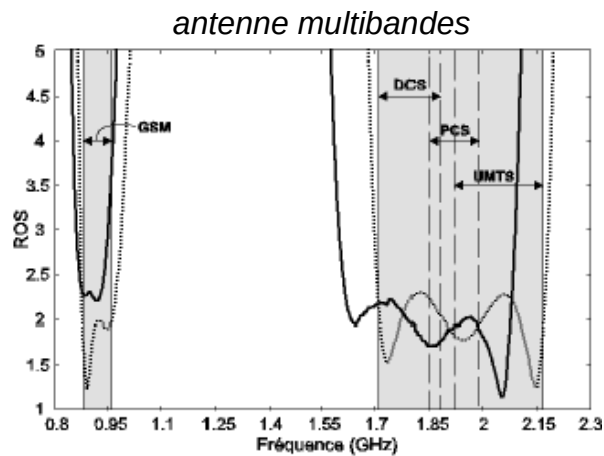
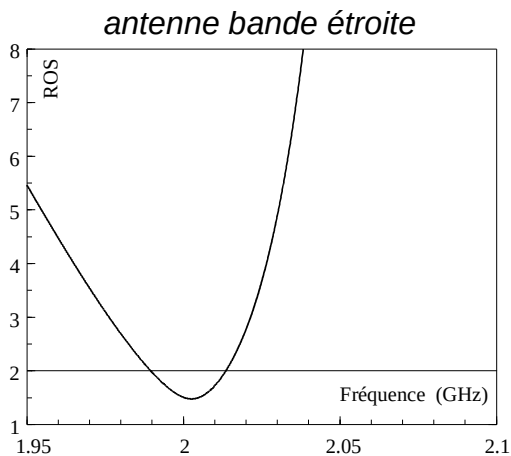
Mesure de la BW en VSWR (Voltage Standing Wave Ratio)

↳ basée sur un critère $VSWR \leq \dots$

Bref rappel sur la ligne coaxiale ($l \gg \lambda_{milieu}$)



Exemples de VSWR mesurés (travaux réalisés au LEAT)



8- Bande passante (3/3)

bandwith (BW), en anglais

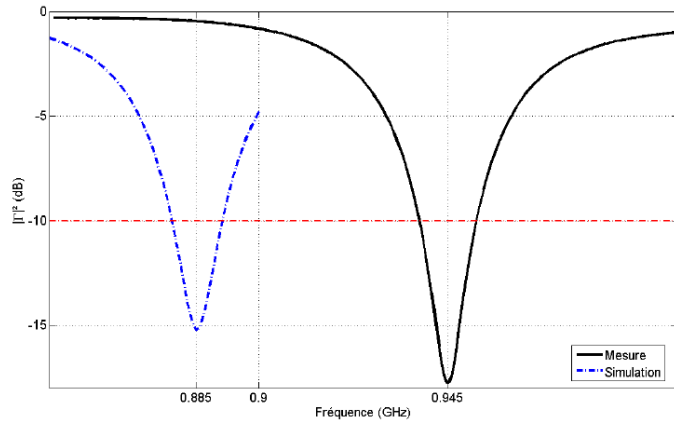
Mesure de la BW en réflexion

↳ si $VSWR = 2$
alors $|S_{11}| = \dots$
donc $|S_{11}|_{dB} = \dots$

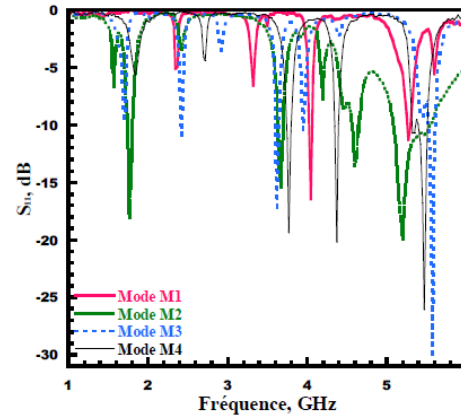
$$|S_{11}|_{dB} = \dots$$

Exemples de coefficient de réflexion mesurés

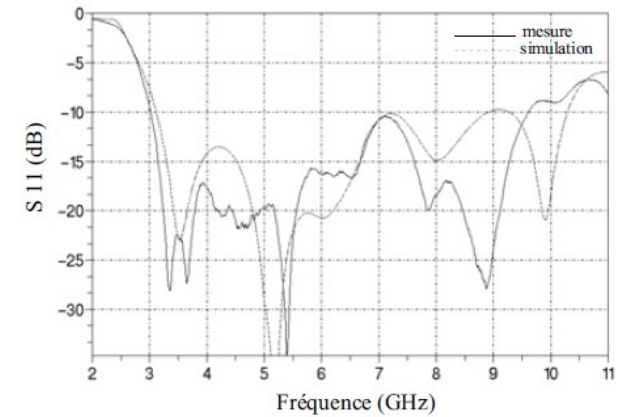
antenne bande étroite
(Ghiotto 2008, LCIS)



antenne multibandes
(Trad 2014, IETR)



antenne ULB
(Fortino 2006, LEAT)



Antennes réseaux (1/13)

1^{er} objectif

Obtenir une antenne directive, donc une antenne à fort gain, dans une direction donnée.



Comment ?

une possibilité : augmenter la taille de l'antenne. Mais, jusqu'où dans la mesure du réalisable ?

solution : utiliser ce même élément rayonnant et le répéter suivant un certain agencement spatial linéaire (*réseau 1D*), plan ou circulaire (*réseau 2D*).

2^e objectif

Pointer le lobe principal dans différentes directions

Comment ?

1^{re} possibilité : balayage mécanique



2^e possibilité : balayage électronique

passif (en anglais PESA, Passive Electronically Scanned Array)

actif (en anglais AESA, Active Electronically Scanned Array)



Antennes réseaux (2/13)

Quelques exemples...



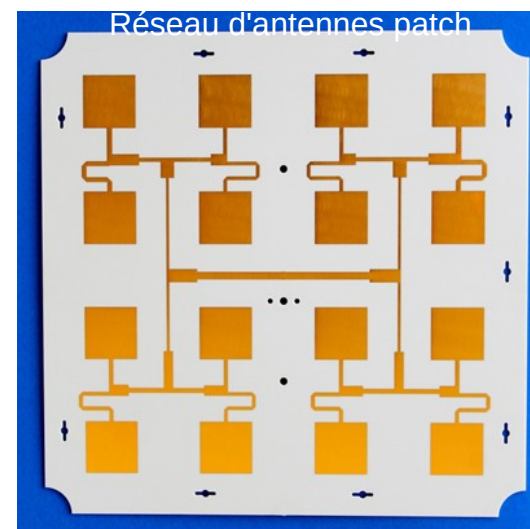
(source : https://cdn.eso.org/images/screen/alma-hexa-2-3_cc.jpg)



(source : <https://cdn.eso.org/images/publicationjpg/eso-paranal-51.jpg>)



(source : <http://www2.thalesgroup.com/press/Web/eventsZip/zip20170523114056/Press%20datasheets/fiche-presse-radar-rb2e-aesa.pdf>)

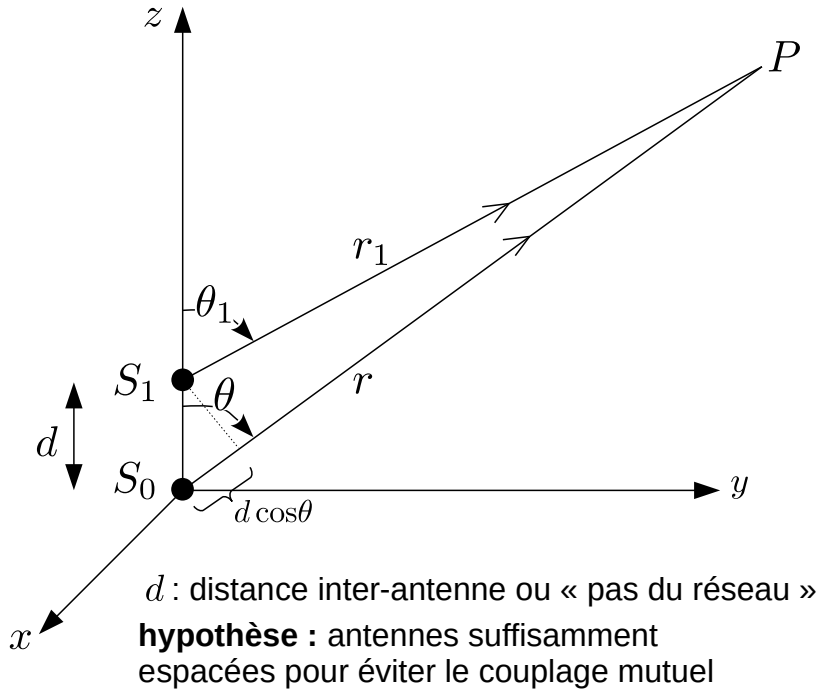


(source <http://lrtechus.com/services>)

Antennes réseaux (3/13)

Réseau linéaire

Cas simple : 2 antennes identiques



Question

quel est le champ électrique total au point P ?

Réponse

$$\vec{\mathcal{E}}_t = \vec{\mathcal{E}}_0 + \vec{\mathcal{E}}_1 = a_0 \frac{e^{-ikr}}{r} \vec{e}(\vec{u}) + a_1 \frac{e^{-ikr_1}}{r_1} \vec{e}(\vec{u})$$

avec $a_n = |a_n| e^{i\varphi_n}$ loi d'alimentation
 $\vec{e}(\vec{u})$ caractéristique vectorielle de rayonnement

comme $\left. \begin{array}{l} \theta_1 \simeq \theta \\ r_1 \simeq r \rightarrow \text{pour les variations d'amplitude} \end{array} \right\} \text{car champ lointain}$
 $r_1 = r - d \hat{e}_3 \cdot \hat{e}_r$
 $= r - d \cos \theta \rightarrow \text{pour les variations de phase}$

donc :

$$\vec{\mathcal{E}}_t = \frac{e^{-ikr}}{r} \vec{e}(\vec{u}) (a_0 + a_1 e^{ikd \cos \theta})$$

\curvearrowright AF (Array Factor, en anglais)

Généralisation à N antennes identiques

$$AF = \dots$$

Rappel
 $k = 2\pi/\lambda$

Conclusion

Le diagramme de rayonnement d'un réseau est le produit du diagramme de rayonnement d'un élément isolé par le facteur de réseau

déterminé par la position des sources et non par la nature de celle-ci.

Étude du facteur de réseau AF dans le cas d'une loi d'alimentation :

- uniforme (constante) en amplitude $\Rightarrow |a_n| = 1$
- linéaire en phase $\Rightarrow \varphi_n = -n\varphi \mid n \in \mathbb{N}$ (écart de phase identique entre deux sources consécutives)

Nouvelle expression du AF

$$AF = \sum_{n=0}^{N-1} e^{inkd \cos \theta} e^{-in\varphi}$$
$$= \sum_{n=0}^{N-1} e^{in\psi} \mid \psi = kd \cos \theta - \varphi$$

$AF = \dots$

$AF = \dots$

Si la référence de phase est prise au centre du réseau alors :

$$AF(u) = \frac{\sin(Nu)}{\sin(u)} \mid u = \frac{kd \cos \theta - \varphi}{2}$$

Antennes réseaux (5/13)

Propriétés de $|AF(u)|$

$$|AF(u)| = \left| \frac{\sin(Nu)}{\sin(u)} \right| = N \left| \frac{\sin(Nu)}{N \sin(u)} \right|$$

Normalized Array Factor

$$NAF = \frac{|AF|}{\max(|AF|)} \mid \max(|AF|) = N$$

Pourquoi ?

► Parité

$$|AF(-u)| = \dots$$



► Périodicité

$$|AF(u)| \Big|_{u \rightarrow u + \pi} = \dots$$



► Directions pour lesquelles $|AF(u)| = 0$

si ...



Antennes réseaux (6/13)

► Directions pour lesquelles $|AF(u)|$ max

si ...



Conclusion

1^{er} maximum caractérise le lobe principal pour $m = \dots$

$\theta_{\max} = \dots$ angle pour lequel $\psi(\theta = \theta_{\max}) = \dots$

► Directions pour lesquelles les lobes secondaires de $|AF(u)|$ sont max

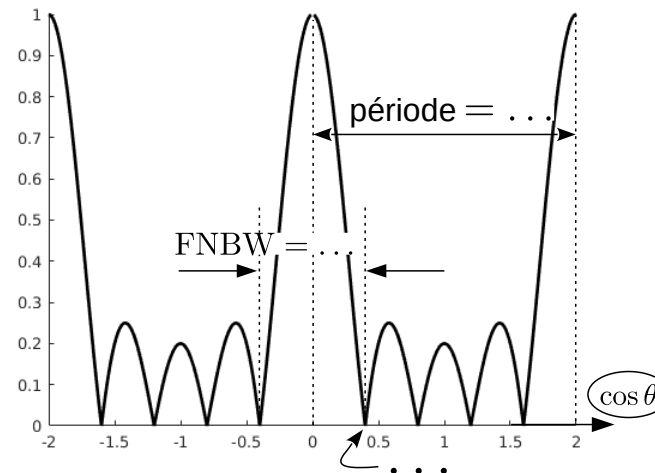
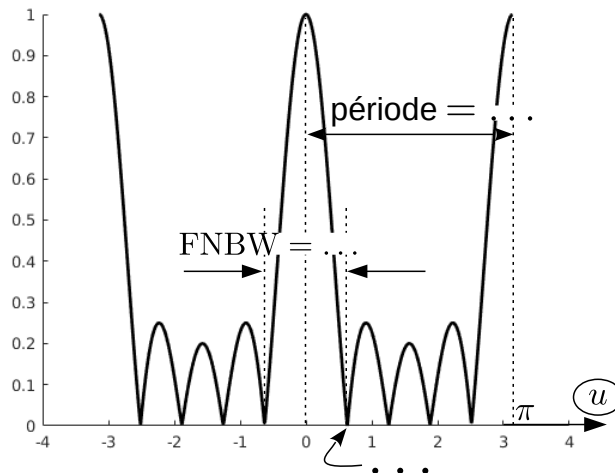
si ...



Exemple de représentation du facteur de réseau normalisé, NAF

conditions

$N = 5$
 $d = \lambda/2$
 $\varphi = 0$



Interprétation

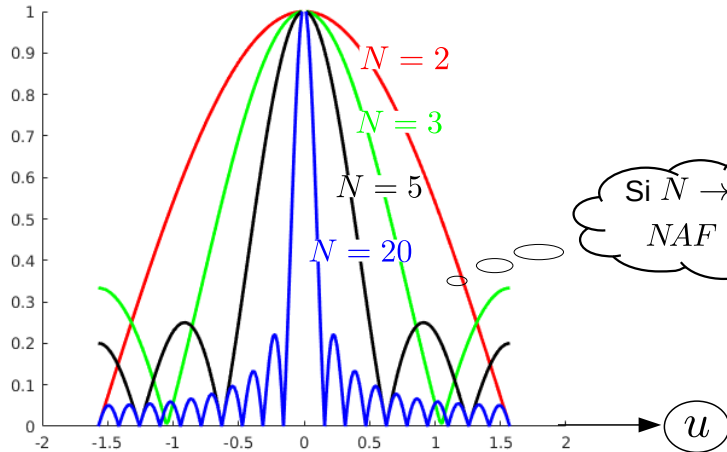
pas de déphasage
 entre antennes alors
 max du $|AF|$
 transversal à l'axe
 du réseau



Antennes réseaux (7/13)

Étude paramétrique sur le NAF

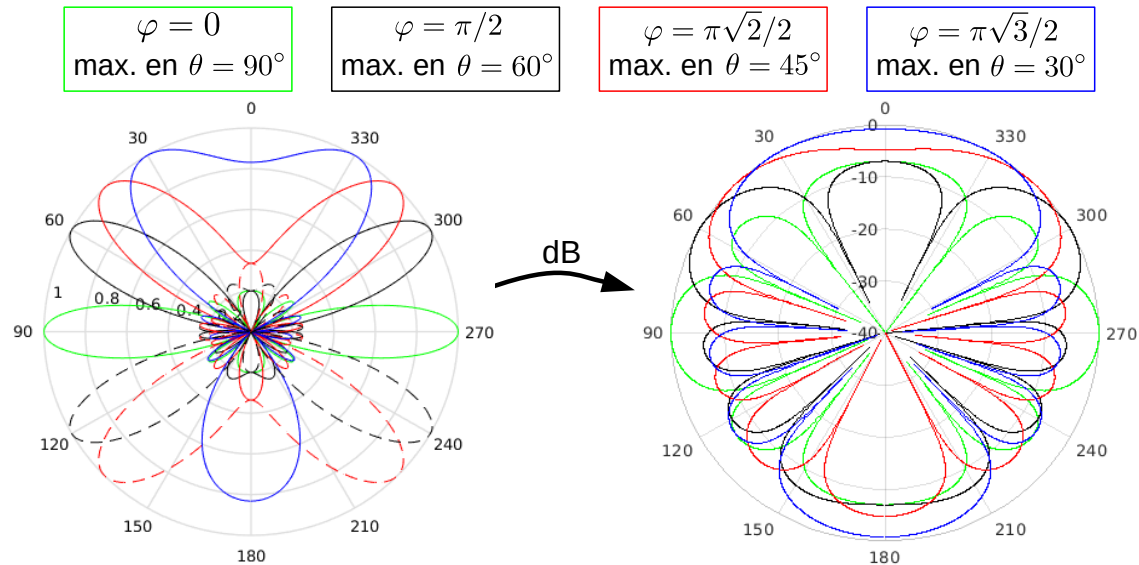
$$N \nearrow d = \lambda/2 \quad \varphi = 0$$



Interprétation

Quand N augmente, le *HPBW* du $|AF|$ diminue. Donc, la directivité du réseau croît, c.-à.-d. lobe principal étroit

$$N = 5 \quad d = \lambda/2 \quad \varphi \nearrow$$



Interprétation

- ✓ Quand $\varphi > 0$ le lobe principal s'écarte de la normale à l'axe du réseau, et le maximum du $|AF|$ appartient à $[0, \pi/2]$
- ✓ Si $\varphi < 0$ le maximum du $|AF|$ appartient à $[\pi/2, \pi]$
- ✓ Si $|\varphi|$ augmente le *HPBW* du faisceau principal augmente

↪ Directivité moins bonne 😞

Remarque

Les $|AF|$ obtenus avec $\varphi < 0$ sont symétriques par rapport au plan xOy de ceux obtenus avec $\varphi > 0$

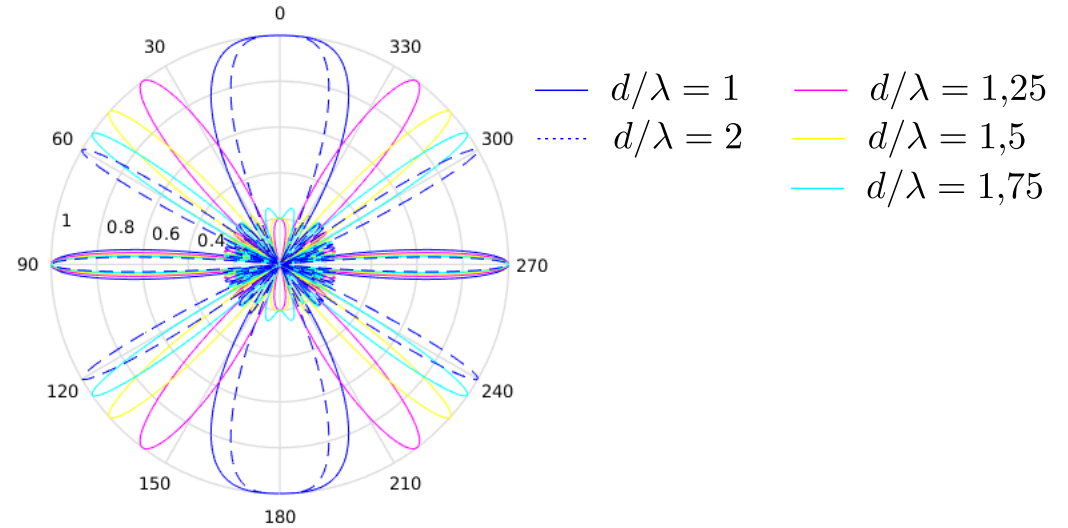
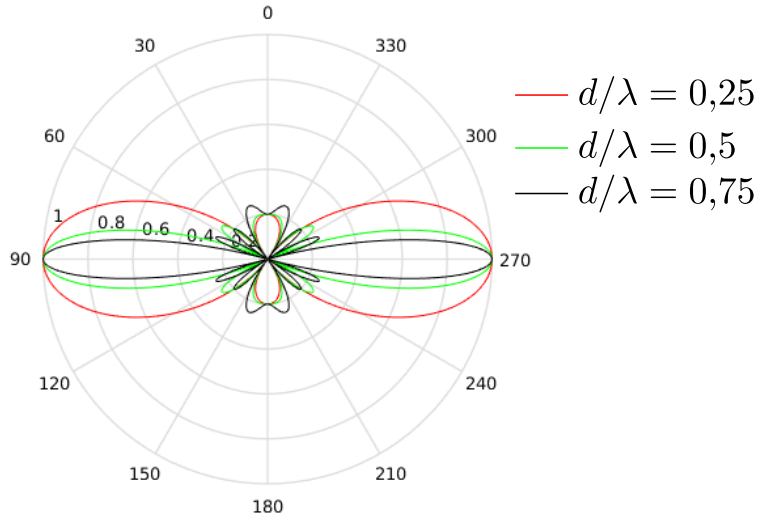
Antennes réseaux (8/13)

Étude paramétrique sur le NAF

$N = 5$ d/λ $\varphi = 0$



La longueur du réseau varie

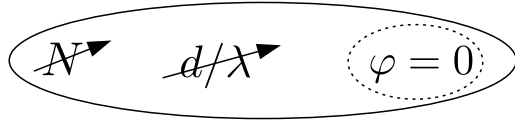


Interprétation

- ✓ $d/\lambda < 1$ \Rightarrow le max. du AF est toujours
- ✓ $d/\lambda = 1$ \Rightarrow en plus du 1^{er} max. du AF, apparition de nouveaux maximums
 $\theta = \dots$ on parle de « »
 également vrai pour $d/\lambda = \dots$
- ✓ $1 < d/\lambda < 2$ \Rightarrow le max. en $\theta = 0^\circ$ se déplace dans $\theta = \dots$
 le max. en $\theta = 180^\circ$ se déplace dans $\theta = \dots$
- ✓ $d/\lambda = 2$ \Rightarrow les max. du AF dirigés vers $\theta = \dots$

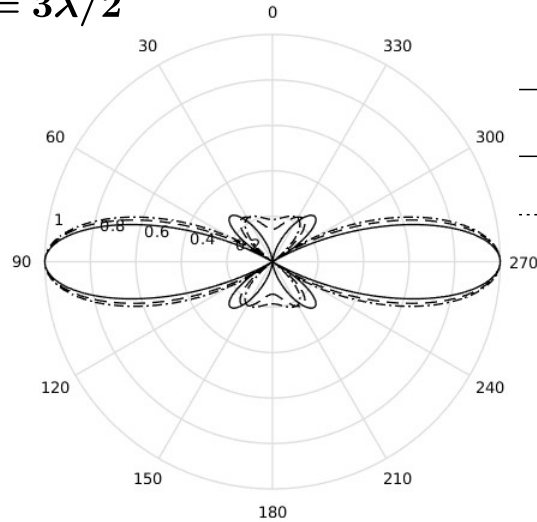
Antennes réseaux (9/13)

Étude paramétrique sur le NAF



La longueur du réseau ne varie pas

1^{er} cas $L = 3\lambda/2$

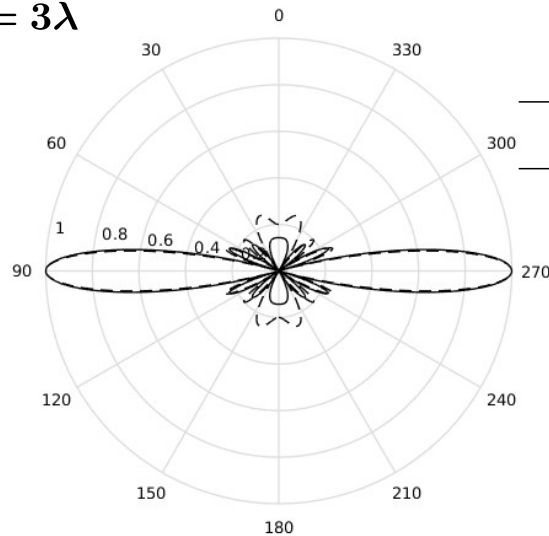


- $N = 4, d/\lambda = 1/2$
- - $N = 7, d/\lambda = 1/4$
- $N = 13, d/\lambda = 1/8$

Conclusion

.....

2^e cas $L = 3\lambda$



- $N = 4, d/\lambda = 1/2$
- - $N = 7, d/\lambda = 1/4$

Interprétation

.....

Antennes réseaux (10/13)

Étude paramétrique sur le NAF

Comment obtenir un réseau de type « end-fire » ?

↪ max(NAF) en bout de réseau → $\theta = 0^\circ$ ou 180° ⇨ $\varphi = \pm kd$

1^{er} possibilité $d/\lambda \in \dots$
cf. p. 45 MAIS...

$N = 5$

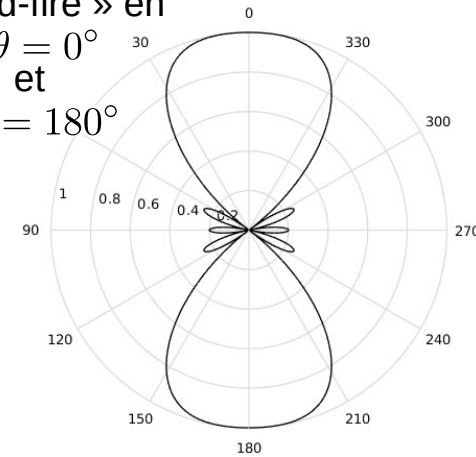
2^e possibilité $d/\lambda = \dots$ et $\varphi = \dots$

« end-fire » en

$\theta = 0^\circ$

et

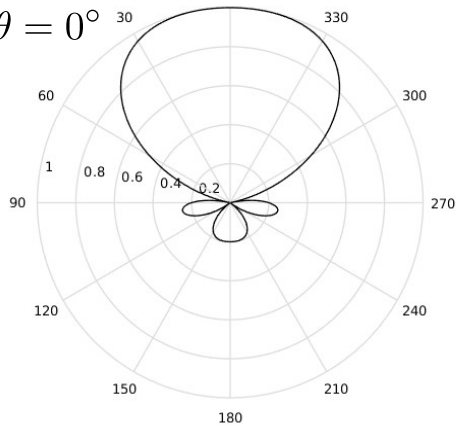
$\theta = 180^\circ$



3^e possibilité $d/\lambda = \dots$ et $\varphi = \dots$

« end-fire » en

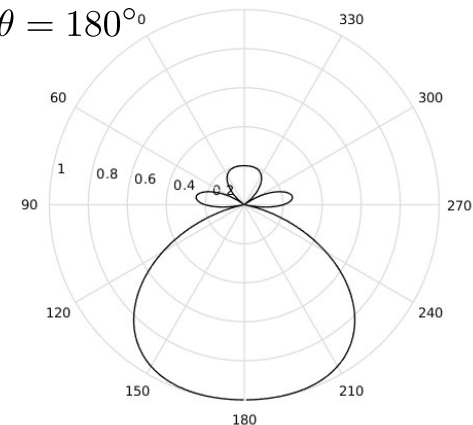
$\theta = 0^\circ$



4^e possibilité $d/\lambda = \dots$ et $\varphi = \dots$

« end-fire » en

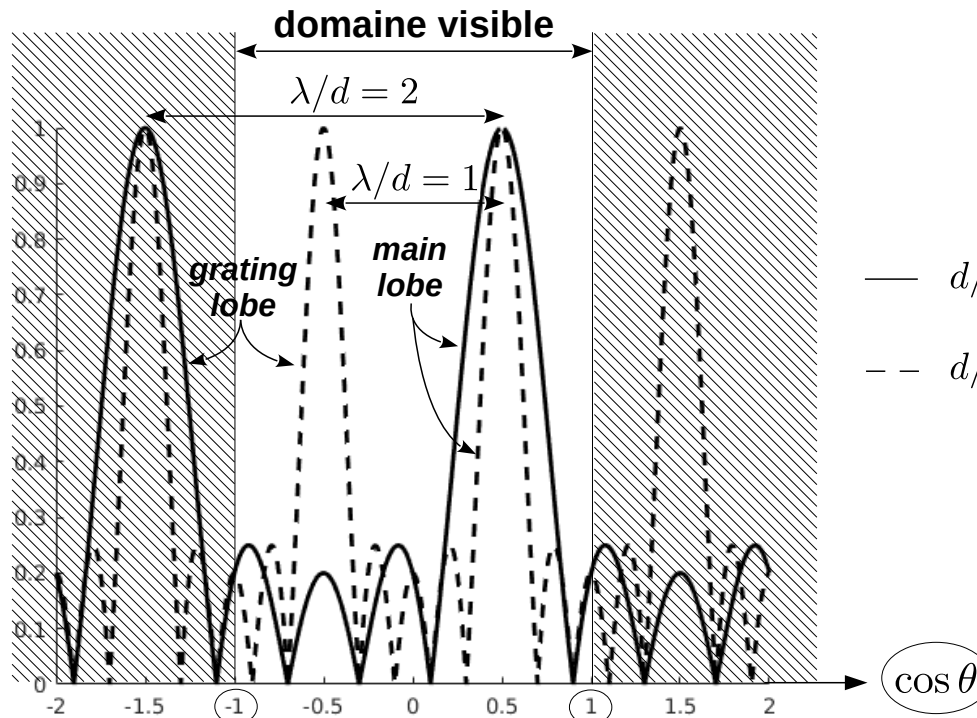
$\theta = 180^\circ$



Antennes réseaux (11/13)

Qu'appelle-t-on domaine (régime) visible ?

conditions
 $N = 5$
 $\max(NAF)$ en 60°



Quelle est la loi de phase pour chacun des tracés ?

- $d/\lambda = 1/2$ 😊
- $d/\lambda = 1$ 😞

Condition d'absence de lobes de réseau (*grating lobes*, en anglais) ou lobes de périodicité

$$\frac{d}{\lambda} \leq \frac{1}{1 + \cos \theta_{ml}}$$

θ_{ml} : direction souhaitée pour avoir un maximum de rayonnement

Avez-vous compris ?

Problématique

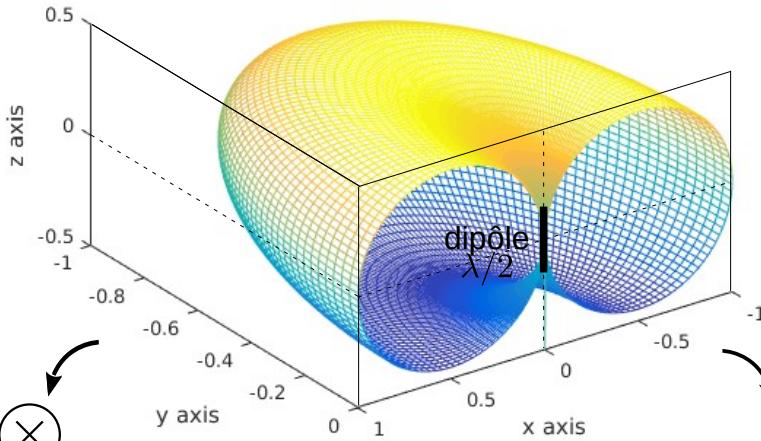
On considère deux dipôles électriques demi-onde placés suivant l'axe (Ox), de façon symétrique par rapport à l'origine du repère, distants de d et orientés suivant l'axe (Oz). Déterminer l'expression du vecteur-phaseur champ électrique total dans le cas d'une loi d'alimentation uniforme en amplitude et linéaire en phase.



Réponse :

Antennes réseaux (13/13)

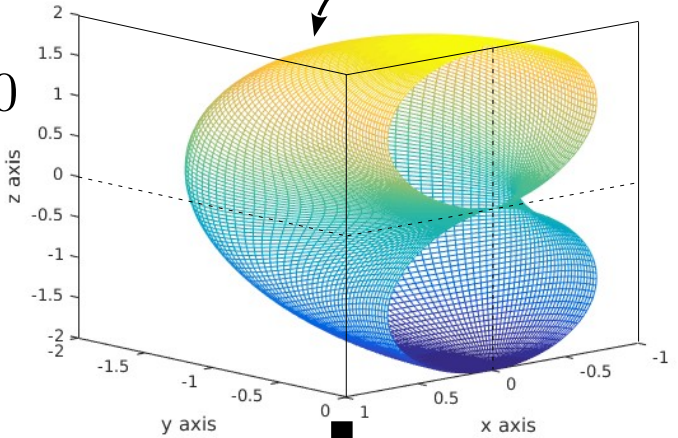
Fonction caractéristique
« d'un » dipôle demi-onde
 $f(\theta)$



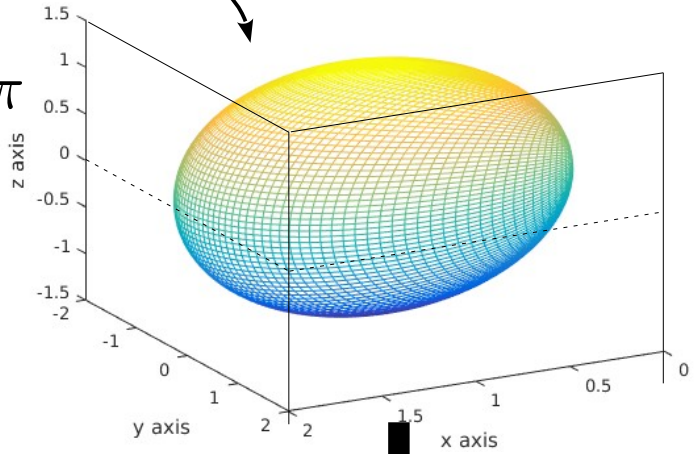
$N = 2$
 $d = \lambda/2$
pour faciliter la lecture
⚠ $0 \leq \theta \leq \pi$
 $-\pi \leq \phi \leq 0$

AF

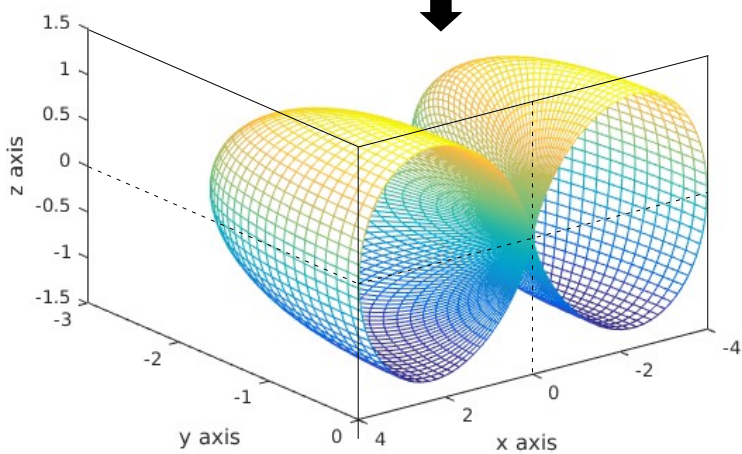
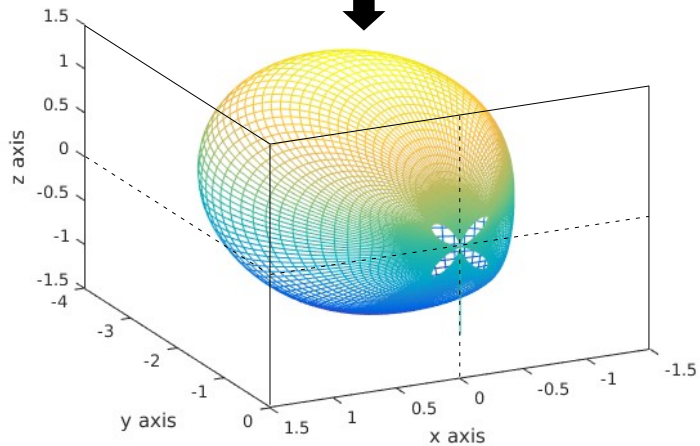
$\varphi = 0$



$\varphi = \pi$



Intensité de rayonnement
du réseau
 $(f \cdot AF)^2$



Annexe 1

Efficacité de la polarisation

linéaire - linéaire

<i>Polarisation Tx</i>	<i>Polarisation Rx</i>	<i>Efficacité de polarisation</i>
verticale	verticale	1
horizontale	horizontale	
+45°	+45°	
verticale	+/- 45°	1/2
horizontale	+/- 45°	
verticale	horizontale	0
horizontale	verticale	
+45°	-45°	

circulaire - circulaire

<i>Polarisation Tx</i>	<i>Polarisation Rx</i>	<i>Efficacité de polarisation</i>
gauche	gauche	1
droite	droite	
gauche	droite	0
droite	gauche	

linéaire - circulaire

<i>Polarisation Tx</i>	<i>Polarisation Rx</i>	<i>Efficacité de polarisation</i>
linéaire	circulaire gauche ou droite	1/2
circulaire gauche ou droite	linéaire	

Annexe 2 (1/5)

Synthèse d'antennes réseaux par la méthode de Dolph-Chebyshev

Objectif

Obtenir un rapport Main Lobe à Side Lobes important

Particularité de la méthode

Side Lobes Level identiques

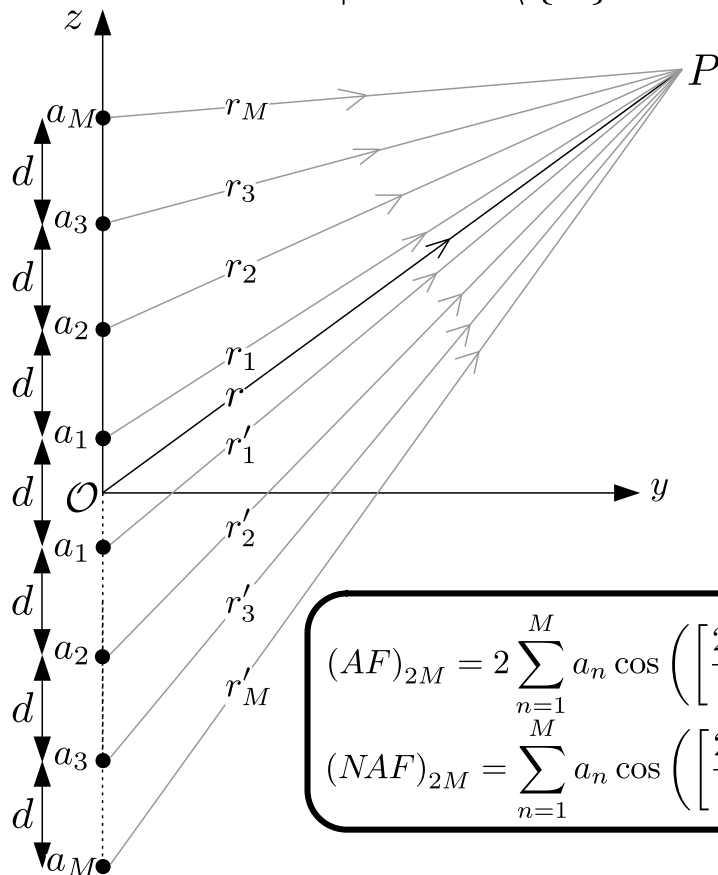
Hypothèse

Loi de pondération en amplitude symétrique par rapport à l'origine du repère

Pas de déphasage inter-antennes

Géométrie du réseau : antennes placées sur l'axe Oz et rayonnement broadside

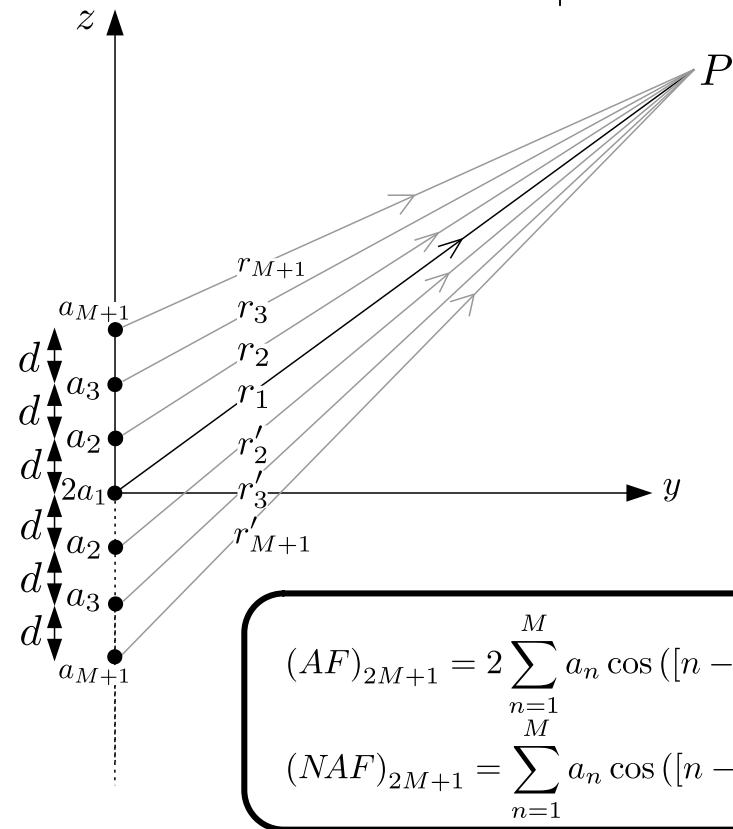
cas pair $N = 2M \mid M \in \mathbb{N} \setminus \{0\}$



$$(AF)_{2M} = 2 \sum_{n=1}^M a_n \cos \left(\left[\frac{2n-1}{2} \right] v \right)$$

$$(NAF)_{2M} = \sum_{n=1}^M a_n \cos \left(\left[\frac{2n-1}{2} \right] v \right)$$

cas impair $N = 2M + 1 \mid M \in \mathbb{N} \setminus \{0\}$



$$(AF)_{2M+1} = 2 \sum_{n=1}^M a_n \cos ([n-1] v)$$

$$(NAF)_{2M+1} = \sum_{n=1}^M a_n \cos ([n-1] v)$$

avec $v = kd \cos \theta$

Annexe 2 (2/5)

Dans le cas du NAF pair

$$(NAF)_{2M} = \sum_{n=1}^M a_n \cos([2n - 1] v') \mid v' = \frac{v}{2} = \frac{kd \cos \theta}{2}$$

$$= a_1 \cos v' + a_2 \cos(3v') + a_3 \cos(5v') + \dots$$

or $\cos(\alpha v')$ est un polynôme de degré α de variable $\cos v'$

→ assimilable à un « polynôme de Chebyshev » de degré $\alpha \implies$ de degré $N - 1$

α	$\cos(\alpha v')$	Développement polynomial en $\cos(v')$	Polynôme de Chebyshev $T_\alpha(x) \mid x = \cos v'$
0	1	1	$T_0(x) = 1$
1	$\cos(v')$	$\cos(v')$	$T_1(x) = x$
2	$\cos(2v')$	$2 \cos^2(v') - 1$	$T_2(x) = 2x^2 - 1$
3	$\cos(3v')$	$4 \cos^3(v') - 3 \cos(v')$	$T_3(x) = 4x^3 - 3x$
4	$\cos(4v')$	$8 \cos^4(v') - 8 \cos^2 + 1$	$T_4(x) = 8x^4 - 8x^2 + 1$
5	$\cos(5v')$	$16 \cos^5(v') - 20 \cos^3(v') + 5 \cos(v')$	$T_5(x) = 16x^5 - 20x^3 + 5x$
6	$\cos(6v')$	$32 \cos^6(v') - 48 \cos^4(v') + 18 \cos^2(v') - 1$	$T_6(x) = 32x^6 - 48x^4 + 18x^2 - 1$
7	$\cos(7v')$	$64 \cos^7(v') - 112 \cos^5(v') + 56 \cos^3(v') - 7 \cos(v')$	$T_7(x) = 64x^7 - 112x^5 + 56x^3 - 7x$
8	$\cos(8v')$	$128 \cos^8(v') - 256 \cos^6(v') + 160 \cos^4(v') - 32 \cos^2(v') + 1$	$T_8(x) = 128x^8 - 256x^6 + 160x^4 - 32x^2 + 1$
9	$\cos(9v')$	$256 \cos^9(v') - 576 \cos^7(v') + 432 \cos^5(v') - 120 \cos^3(v') + 9 \cos(v')$	$T_9(x) = 256x^9 - 576x^7 + 432x^5 - 120x^3 + 9x$

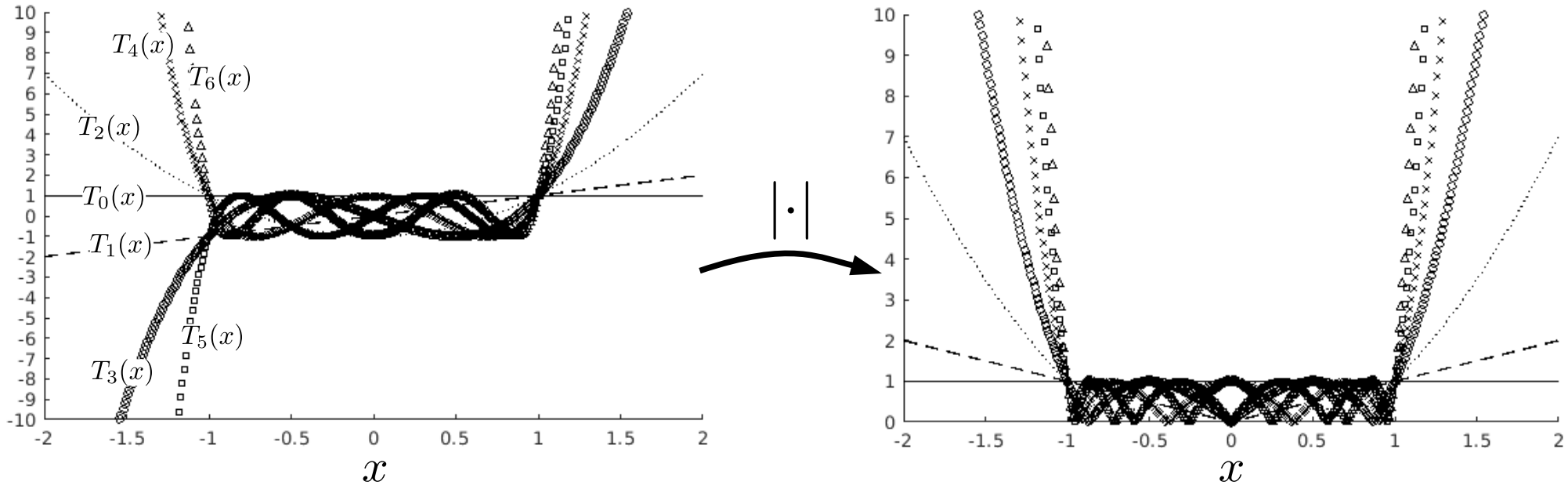
Remarque

relation de récurrence valable pour $\alpha \geq 2$

$$T_\alpha(x) = 2xT_{\alpha-1}(x) - T_{\alpha-2}(x)$$

Annexe 2 (3/5)

Courbes représentatives des sept premiers polynômes de Chebyshev



Quelques propriétés de ces polynômes

✓ « tous » les polynômes passent par le point $(1, -1)$ et par le point $(-1, \pm 1)$ selon l'ordre pair ou impair

✓ $-1 \leq x \leq 1$ alors $-1 \leq T_\alpha(x) \leq 1 \implies T_\alpha(x) = \cos(\alpha \arccos(x))$
 « toutes » les racines apparaissent
 « tous » les maxima et minima valent respectivement ± 1

✓ $x > 1$ alors $T_\alpha(x) = \cosh(\alpha \operatorname{arcosh}(x))$

✓ $x < -1$ alors $T_\alpha(x) = (-1)^\alpha \cosh(\alpha \operatorname{arcosh}(x))$

Annexe 2 (4/5)

Mise en œuvre de cette synthèse

Problématique

Concevoir un réseau de Dolph-Chebyshev à rayonnement broadside de 10 antennes chacune espacée d'une demie longueur d'onde avec un SLL de 26 dB

Objectif

Déterminer la loi d'amplitude pour obtenir l'expression du NAF (ou AF)

Réponse :

a) Rappel des data

$$N = 10 \implies M = 5, \quad d = \lambda/2, \quad SLL = 26 \text{ dB} \implies R = 10^{26/20} \approx 19,9526$$

b) Expression du NAF

$$\begin{aligned} (NAF)_{10} &= a_1 \cos v' + a_2 \cos(3v') + a_3 \cos(5v') + a_4 \cos(7v') + a_5 \cos(9v') \\ &= 256a_5 \cos^9(v') + (64a_4 - 576a_5) \cos^7(v') + (432a_5 - 112a_4 + 16a_3) \cos^5(v') \\ &\quad + (56a_4 - 120a_5 - 20a_3 + 4a_2) \cos^3(v') + (9a_5 - 7a_4 + 5a_3 - 3a_2 + a_1) \cos v' \end{aligned} \left. \vphantom{\begin{aligned} (NAF)_{10} \\ &= 256a_5 \cos^9(v') \\ &\quad + (64a_4 - 576a_5) \cos^7(v') \\ &\quad + (432a_5 - 112a_4 + 16a_3) \cos^5(v') \\ &\quad + (56a_4 - 120a_5 - 20a_3 + 4a_2) \cos^3(v') \\ &\quad + (9a_5 - 7a_4 + 5a_3 - 3a_2 + a_1) \cos v' \end{aligned}} \right\} \begin{array}{l} \text{polynôme} \\ \text{de degré 9 (= } N - 1) \end{array}$$

c) Déterminer les points pour lesquels on a le Main Lobe et le premier nul

c.1) pour le Main Lobe choisir $x_0 > 1$ pour que $|T_9(x_0)| = R$ soit dans la partie divergente

$$\begin{aligned} \longrightarrow x_0 &= \cosh\left(\frac{1}{9} \operatorname{arcosh}(R)\right) \approx 1,0850 \\ &= \frac{1}{2} \left(\left[R + \sqrt{R^2 - 1} \right]^{1/9} + \left[R - \sqrt{R^2 - 1} \right]^{1/9} \right) \end{aligned}$$

c.2) x_1 point pour lequel le 1^{er} nul est obtenu $\longrightarrow x_1 < x < x_0$ formation du Main Lobe

d) Substituer $\cos v' = x/x_0$ dans l'expression de $(NAF)_{10}$ et identifier les coefficients à ceux du polynôme de Chebyshev d'ordre 9

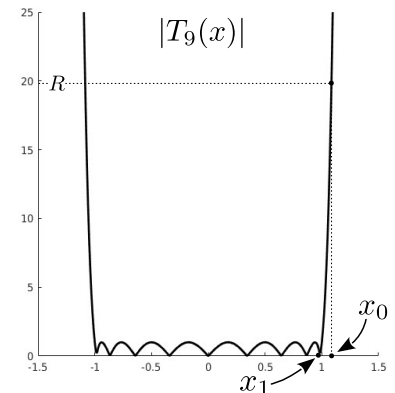
$$256a_5/x_0^9 = 256 \implies a_5 \approx 2,0846$$

$$(64a_4 - 576a_5)/x_0^7 = -576 \implies a_4 \approx 2,8256$$

$$(16a_3 - 112a_4 + 432a_5)/x_0^5 = 432 \implies a_3 \approx 4,1023$$

$$(4a_2 - 20a_3 + 56a_4 - 120a_5)/x_0^3 = -120 \implies a_2 \approx 5,1670$$

$$(a_1 - 3a_2 + 5a_3 - 7a_4 + 9a_5)/x_0 = 9 \implies a_1 \approx 5,7732$$



Annexe 2 (5/5)

e) Tracer

$$(NAF)_{10} \approx 5,7732 \cos v' + 5,1670 \cos (3v') + 4,1023 \cos (5v') + 2,8256 \cos (7v') + 2,0846 \cos (9v')$$

$$\text{avec } v' = (\pi/2) \cos \theta \text{ et } (AF)_{10} = 2(NAF)_{10}$$

